

A Review on Image Texture Analysis Methods

Shervan Fekri-Ershad^{1,*}

¹*Faculty of Computer Engineering, Najafabad Branch, Islamic Azad University,
Najafabad, Iran*

*Corresponding Author: *fekriershad@pco.iaun.ac.ir*

Abstract

Texture classification is an active topic in image processing which plays an important role in many applications such as image retrieval, inspection systems, face recognition, medical image processing, etc. There are many approaches extracting texture features in gray-level images such as local binary patterns, gray level co-occurrence matrixes, statistical features, skeleton, scale invariant feature transform, etc. The texture analysis methods can be categorized in 4 groups titles: statistical methods, structural methods, filter-based and modelbased approaches. In many related researches, authors have tried to extract color and texture features jointly. In this respect, combined methods are considered as efficient image analysis descriptors. Mostly important challenges in image texture analysis are rotation sensitivity, gray scale variations, noise sensitivity, illumination and brightness conditions, etc. In this paper, we review most efficient and state-of-the-art image texture analysis methods. Also, some texture classification approaches are survived.

Keywords: Texture Classification, Local Binary Patterns, Impulse-noise, Tezxture Analysis, Color Texture Classification

1. Introduction

هدف اصلی این مقاله، مروری بر روش های اناالیز بافت تصویر است. بنابراین در این بخش، ابتدا مفهوم بافت تصویر و تصویر بافتی بیان می گردد. سپس مسئله دسته‌بندی تصاویر بافتی تعریف می گردد. در ادامه صورت مسئله به تصاویر رنگی تعمیم داده شده و چالش های این حوزه مطرح خواهد شد.

1.1. Image Texture Definition

اصطلاح بافت تصویر، از تعریف بافت در پوشک استنتاج شده است . در فرآورده های نساجی ، نوع، رنگ و چگونگی قرار گرفتن تار و پود در کنار یکدیگر بافت فرآورده را تشکیل می دهد. در پردازش تصویر و بینایی ماشین نیز به میزان، نوع و چگونگی پراکندگی و توزیع ^۱ شدت روشنایی ^۲ پیکسل ها در تمام طول تصویر در کنار یکدیگر بافت تصویر می گویند[1].

محققان در [2]، اصطلاح بافت تصویر را به صورت زیر تعریف کرده اند:

"یک حوزه بافتی در تصویر می تواند با یک توزیع فضایی نامنظم^۳ و متنوع از شدت روشنایی ها یا رنگ ها شناخته شود".

ولیکن اصطلاح بافت تصویر و تصاویر بافتی با یکدیگر کاملاً متفاوت است. عبارت تصاویر بافتی به تصاویری اطلاق می گردد که در آنها الگویی خاص از توزیع و پراکندگی شدت روشنایی پیکسل ها به صورت متوالی در تمام طول تصویر در حال تکرار شدن باشد.[1]

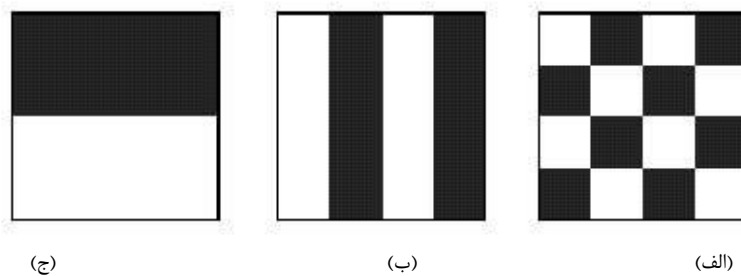
در شکل (1-1) چند نمونه از تصاویر بافتی نشان داده شده است . به طور مثال در این شکل الگوی خانه های سیاه و سفید در تصویر به صورت متوالی تکرار شده است و توالي آنها تصویر اصلی صفحه شطرنج را ساخته است.

¹ Distribution

² Intensity

³ Non-uniform Spatial Distribution

⁴ Texture Image



شکل 1-1. نمونه هایی از تصاویر بافت تکرارشونده [3]

در برخی از تصاویر ممکن است بخش های خاصی از تصویر دارای بافت تکرار شونده خاص خودشان باشند که با بخش های دیگر تقاؤت می کند. به طور مثال تصویر نشان داده شده در شکل (1-2)، دارای سه چهار بابت مجزا شامل: بافت گلهای قرمز رنگ، بافت گلهای سفید رنگ، بافت چمن و بافت خیابان است [3]. چنین تصاویری را معمولا تصاویر بخشی بافتی¹ می نامند.



شکل 1-2. نمونه ای از تصویر بخشی بافتی با سه زیر بافت [3]

همانطور که قابل پیش بینی است، تصاویر بافتی یا توسط بشر تولید شده‌اند و یا به صورت طبیعی در اطراف ما وجود دارند. نمونه هایی از این دو دسته تصویر بافتی در شکل زیر نشان داده شده است. به طور مثال در بخش الف شکل زیر، بافت طبیعی برگ درخت انگور، ساقه گندم، مزارع کشاورزی و کوهستان مشاهده می گردد. همچنین در شکل (1-3-ب) تصاویری از

¹ Regional Texture

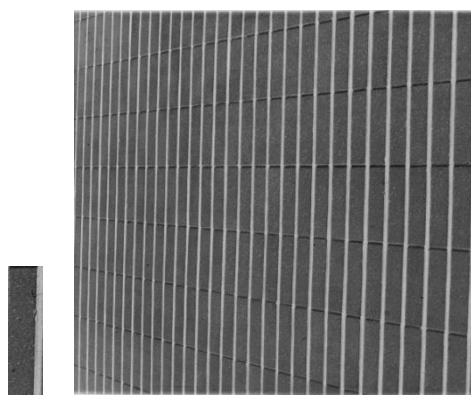
ساختمان های مسکونی، فرآورده های حصیری، انواع پارچه و غیره مشاهده می شود، که همگی دارای بافت تکرار شونده بوده و در زمرة تصاویر بافتی قرار می گیرند



(الف) تصاویر با بافت هوشمندانه [4]
(ب) تصاویر با بافت طبیعی

شکل 1-3. نمونه هایی از تصاویر طبیعی و هوشمندانه با بافت تکرار شونده

الگویی که در تصاویر بافتی در حال تکرار شدن است، را الگوی تکراری می نامند. به طور مثال در شکل 1-4-الف) تصویری از یک دیوار آجری گرفته شده است . همانطور که مشاهده می شود، بافت تصویر (همچنین بافت واقعی محیط) کاملاً تکرار شونده می باشد به طوری که الگوی آجر به صورت متواالی در تمام سطح تصویر در حال تکرار شدن است . الگوی تکراری نیز در شکل 1-4-ب) به طور جداگانه بریده و نشان داده شده است . چند نمونه دیگر از تصاویری با بافت طبیعی¹ تکرار شونده (چمنزار، تنہ درخت) در شکل 1-5) نشان داده شده است. لازم به توضیح است که تصاویر مربوط به اشکال 1-4) و 1-5) از آلبوم برودادتر² [5]، استخراج گردیده اند.

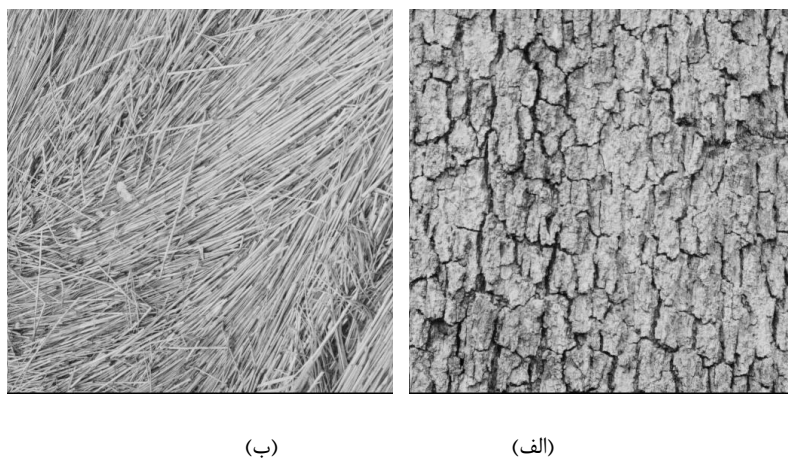


(الف)
(ب)

شکل 1-4. (الف) تصویری با بافت تکرار شونده از دیوار آجری (ب) الگوی تکراری در بافت تصویر (الف) [5]

¹ Natural Texture

² Brodatz



شکل 1-5. چند نمونه از تصاویر طبیعی با بافت تکرار شونده [5]

(الف) تنه درخت (ب) چمنزار

1.2. Texture Analysis

بافت تصویر اطلاعات بسیار مفیدی در رابطه با اشیا^۱ یا سطوح^۲ به کار رفته در درون تصویر را با خود حمل می کند . از اواسط دهه ۸۰، مفهومی به نام آنالیز^۳ بافت تصویر^۴ مطرح شد. آنالیز بافت تصویر یکی از شاخه های مهم در پردازش تصویر است که برای تشخیص دادن یا تمییز دادن^۵ سطوح و اشیا درون تصویر از یکدیگر استفاده می گردد. به صورت کلی، به روش هایی که یک سری ویژگی جهت تعریف بافت تصویر یا الگوی تکراری معرفی می کنند، عنوان روش های آنالیز بافت تصویر اطلاق می شود. در بینایی ماشین، آنالیز بافت می تواند به صورت مستقل و یا همراه با ویژگی های دیگر استخراجی از درون تصویر همچون رنگ، شکل^۶، حرکت^۷ و ... استفاده شود[6]. بنابراین در اکثر روش های آنالیز تصویر، تلاش بر آن است تا یک بردار ویژگی که بتواند به بهترین نحو معرف بافت یا الگوی تکراری باشد، استخراج گردد. با توجه به این تفاسیر، از روش های آنالیز بافت تصویر در بسیاری از کاربردهای بینایی ماشین، همچون تشخیص الگو^۷

¹ Objects

² Surfaces

³ Texture Analysis

⁴ Discriminate

⁵ Shape

⁶ Motion

⁷ Pattern Recognition

بصري، پيگيري شی^۱، تشخيص عيوب^۲، سистем هاي بازرسی بصري، شناسایي چهره^۳، قطعه بندی تصویر^۴ و بازيابي تصویر^۵ استفاده می شود.

1.3. Texture Classification

در مفاهيم اوليه تشخيص الگو، عبارت دسته بندی^۶ به معنای نسبت دادن يك نمونه به يكى از گروه هاي از پيش تعريف شده است. در دسته بندى بافت تصویر^۷ هدف، نسبت دادن بافت يك تصویر نمونه ناشناس به يكى از کلاس هاي بافتى از پيش تعريف شده می باشد. در حوزه آناليز بافت تصویر، معمولاً چهار مسئله اصلی مطرح می گردد که هر کدام حوزه هاي تحقیقاتی بسیار وسیعی می باشند. دسته بندی بافت تصویر يكى از این چهار زمینه تحقیقاتی در رابطه با آناليز بافت تصویر می باشد. سه مسئله دیگر نيز عبارتند از بخش بندی بافت^۸، ترکيب بافت^۹ و شكل بافت^{۱۰}. [8, 7]

دسته بندی بافت تصویر معمولاً شامل دو مرحله اصلی، استخراج ویژگی^{۱۱} و مرحله تشخيص^{۱۲} [9, 8, 7] است.

در مرحله اول، هدف ساختن يك مدل برای هر کدام از بافت هایی است که در تصاویر آموزشی پایگاه^{۱۳} وجود دارند. ویژگی های استخراجی در این مرحله می توانند از نوع عددی، هیستوگرام-های گسسته، توزيع های تجربی^{۱۴}، خصایص بافت^{۱۵} همچون تباین، ساختار فضایی و جهت باشند. از آنجایی که هدف اصلی این مرحله آموزش بافت های مذکور به سیستم است، برخی محققان آنرا مرحله یادگیری^{۱۶} نیز می نامند.

¹ Object Tracking

² Defect Detection

³ Face Recognition

⁴ Image Segmentation

⁵ Image Retrieval

⁶ Classification

⁷ Image Texture Classification

⁸ Texture Segmentation

⁹ Texture Synthesis

¹⁰ Shape of Texture

¹¹ Feature Extraction Phase

¹² Recognition Phase

¹³ Training Data

¹⁴ Empirical Distribution

¹⁵ Texture Properties

¹⁶ Learning Phase

در مرحله دوم، ابتدا بافت تصویر نمونه آزمایشی با همان روش به کار برد شده در مرحله قبل، آنالیز شده و سپس با استفاده از یک الگوریتم دسته بندی، ویژگی های استخراجی تصویر آزمایش با تصاویر آموزشی مقایسه شده و کلاس آن مشخص می گردد . در این مرحله با توجه به نوع ویژگی های استخراجی از انواع دسته بندی ها نیز می توان استفاده نمود. به همین دلیل این مرحله را دسته بندی^۱ نیز می نامند.

تاکنون برای دسقبندی بافت تصویر، روش های متنوعی ارائه شده است. در اکثر این تحقیقات، محققان بر روی یکی از دو مرحله فوق متمرکز شده اند. شایان ذکر است که به دلیل گستردگی موضوع، تحقیقات در مورد مرحله آموزش نسبت به مرحله دسته بندی، بسیار بیشتر است

1.4. Color Texture Classification

انسان معمولاً یک تصویر را به صورت ترکیبی از مولفه هایی همچون بافت، شکل و رنگ درک می کند [10]. بخش عمده ای از روش های آنالیز بافت تصویر ، فقط بر ای تصاویر سطوح خاکستری^۲ تعریف شده اند. این در حالی است که یکی از ویژگی های کلیدی که می تواند در دسته بندی و آنالیز تصاویر استفاده شود، رنگ است . ترکیب ویژگی های رنگ تصویر در کنار ویژگی هایی همچون شکل و حرکت در کاربردهای گوناگونی از حوزه پردازش تصویر استفاده شده و نتایج مثبتی را به ارمغان آورده است که از آن جمله می توان به تشخیص اشیا^۳ [11] و ردیابی حرکت^۴ [12] اشاره کرد. بخش عمده ای از تصاویری که ما با آنها سر و کار داریم، رنگی هستند، بنابراین در نظر نگرفتن ویژگی های رنگ، در آنالیز چنین تصاویری به هیچ عنوان معقول نیست. اهمیت موضوع و تحقیقات نه چندان وسیعی که تاکنون در این حوزه صورت گرفته، ما را بر آن داشت تا در این مقاله، راهکاری برای دسته بندی بافت تصاویر رنگی ارائه نمایم. در راستای این هدف، در این مقاله تلاش خواهد شد که ویژگی های استخراجی از بافت و رنگ تصویر با یکدیگر ترکیب شوند و در نهایت ترکیب آنها میزان دقیقت دسته بندی را افزایش دهد.

در ترکیب ویژگی های بافت و رنگ، دو راهکار متقابل وجود دارد : ترکیب اولیه^۵ و ترکیب ثانویه^۶ [13]. در راهکار ترکیب اولیه، عملگرهای آنالیز بافت بر روی هر کanal رنگی تصویر به

¹ Classification Phase

² Gray Levels Images

³ Object Recognition

⁴ Motion Tracking

⁵ Early Fusion

صورت مجزا اعمال می شوند و در نهایت یک سری ویژگی های ترکیبی استخراج می گردد. این دسته از ویژگی های استخراجی زمانی که در تصویر ویژگی های بافت و رنگ در سطح پیکسل ترکیب شده باشند، قدرت جداسازی^۲ بالایی را فراهم کرده و دقت دسته بندی را افزایش می دهد. در نقطه مقابل، در راهکار ترکیب ثانویه، ویژگی های بافت و رنگ در سطح کل تصویر با یکدیگر ترکیب می شوند. در این دسته از روش ها، دو گروه ویژگی جدآگانه (معمولًا به شکل هیستوگرام) بر اساس رنگ و بافت استخراج شده و در نهایت این دو هیستوگرام مجزا به یکدیگر پیوست می شوند^۳ و بازنمایی^۴ نهایی را تشکیل می دهند [14]. در رابطه با جزیيات هر کدام از روش های ترکیب فوق و متدهای ارائه شده تاکنون با جزیيات بیشتری در بخش آتی بحث خواهد شد.

1.5. Applications of Texture Analysis and Classification

با توجه به گستردنگی وسیع تصاویر بافتی و بخشی بافتی، آنالیز بافت تصاویر رنگی یک مفهوم عمومی بوده که در بسیاری از مسائل حوزه پردازش تصویر و بینایی ماشین کاربرد وسیعی دارد. در اکثر کاربردها، محققین تلاش می کنند که از ویژگی های بافتی استخراجی از تصاویر (به صورت منفرد و یا در کنار ویژگی های دیگری همچون شکل، رنگ، حرکت و ...) برای جداسازی سطوح و اشیا استفاده نمایند. از جمله موارد کاربردی آنالیز و دسته بن دی بافت می توان به موارد زیر اشاره کرد:

الف - بازیابی تصویر^۵ [15] : بازیابی تصویر به معنای استخراج تصاویر مشابه با تصویر پرس و جو از درون یک پایگاه بزرگ است. در این کاربرد، معیارهای بافتی و رنگ در کنار یکدیگر می توانند برای تعریف هر تصویر و اشیا درون آن استفاده گردند

ب - تشخیص عیوب سطحی^۶ [16] : تشخیص عیوب به معنای مشخص کردن مکان و قسمت-هایی از سطح مورد نظر در تصویر است که در آن ن قاطع عیوب و نقصهایی رخداده است. پر واضح است که در قسمت های معیوب سطوح، بافت تصویر نسبت به بافت بخش های سالم

¹ Late Fusion

² Discriminative

³ Concatenating

⁴ Representation

⁵ Image Retrieval

⁶ Surface Defect Detection

تفاوت کرده است . بنابراین آنالیز و دسته بندی بافت در این حوزه نیز کاربرد مهمی خواهد داشت.

ج - ردیابی اشیا^۱ [17] : در این کاربرد هدف، تشخیص و ردیابی یک شی خاص در درون تمامی فریم های یک ویدیو است. بدون شک، می باشد در مرحله یادگیری، شی مورد نظر به سیستم معرفی گردد. در این مرحله ویژگی های بافتی و رنگ شی می توانند مولفه های بسیار جدایزیری باشند. از جمله موارد دیگر کاربردی دسته بندی بافت تصاویر رنگی می توان به تشخیص چهره^۲ [18]، سیستم های بازرگانی بصیری^۳ [19] اشاره نمود.

2. Related Works in Texture Analysis

همانطور که در فصل قبل مشخص شد، یکی از اهداف این مقاله. بررسی اجمالی روش های کارآمد در حوزه دسته بندی و آنالیز بافت تصویر است . بنابراین پس از بررسی صورت مسئله و اهمیت تحقیق در بخش پیشین، در این بخش به مرور تجربیاتی که تاکنون در این حوزه صورت گرفته است، پرداخته می شود. مطالب این بخش را می توان به دو قسمت تقسیم نمود. ابتدا به گروه بندی روش های آنالیز بافت تصاویر و بررسی آنها، پرداخته می شود. سپس به مرور روش هایی می پردازیم که جهت دسته بندی تصاویر رنگی، بافت و رنگ تصویر را ترکیب نموده اند.

2.1. A review on Image Texture Analysis methods

همانطور که در بخش قبل اشاره شد، هدف اصلی این مقاله ارائه روشی برای آنالیز بافت تصاویر رنگی است. بنابراین بهتر است که در این بخش، ابتدا به بررسی روش های آنالیز بافت تصویر پرداخته و سپس روش های ترکیبی بافت و رنگ مورد بررسی قرار گیرد. تاکنون محققین روش های متفاوتی در حوزه آنالیز بافت ارائه کرده اند که هر کدام از آنها به تنها یکی می توانند نکات مثبت و منفی متفاوتی داشته باشد . دسته بندی روش های ارائه شده با توجه به پیچیدگی

¹ Object Tracking

² Face Recognition

³ Visual Inspection Systems

موضوعات چندان کار آسانی نیست، ولی به طور ضمنی می توان روش های ارائه شده در این زمینه را به 4 گروه کلی به شرح زیر تقسیم کرد [20 و 21].

- روش های آماری^۱
- روش های ساختاری^۲
- روش های مبتنی بر فیلتر^۳
- روش های مبتنی بر مدل^۴

در ادامه این بخش، ابتدا به تعریف مفهوم هر کدام از گروه های بالا پرداخته شده و سپس برای هر کدام چندین روش به اختصار بررسی می شود. سپس برخی از روش های مطرح جهت آنالیز بافت که به طور مستقیم به این مقاله مربوط می شوند، به تفصیل بررسی می گردد.

2-1-2- روش های آنالیز آماری

این دسته از روش ها جهت آنالیز بافت تصاویر، یک سری محاسبات آماری بر روی توابع توزیع شدت روش نایی پیکسل ها انجام می دهند . به طور کلی روش هایی که برای استخراج بردار ویژگی معرف بافت تصویر، از محاسبات آماری و ریاضی استفاده می کنند، در زمرة این گروه قرار می گیرند. از جمله روش های این گروه می توان به خصایص هیستوگرام^۵[22، 23 و 24]، ماتریس های هم رخدادی^۶[25، 26 و 27]، الگوی دودویی محلی^۷[17 و 28] و تابع همبستگی^۸[29 و 30] اشاره کرد. برای درک بهتر مفهوم روش های آماری، روش ماتریس های همرخدادی و خصایص هیستوگرام به تفصیل شرح داده خواهد شد

الف- ویژگی ها و خصایص هیستوگرام

هیستوگرام تصویر، نمایشی دو بعدی از چگونگی پراکندگی درجات سطوح خاکستری در تصویر است. به طوری که بعد افقی آن نشان دهنده سطوح خاکستری به کار رفته در تصویر و بعد عمودی هم نشان دهنده تعداد پیکسل هایی از تصویر با سطح خاکستری مورد نظر است . به طور مثال، هیستوگرام تصویری 3 سطحی با 16 پیکسل در شکل (3-1) نشان داده شده است.

¹ Statistical

² Structural

³ Filter Based

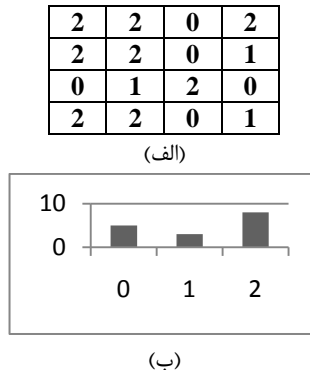
⁴ Model Based

⁵ Histogram Properties

⁶ Co-Occurrence Matrix

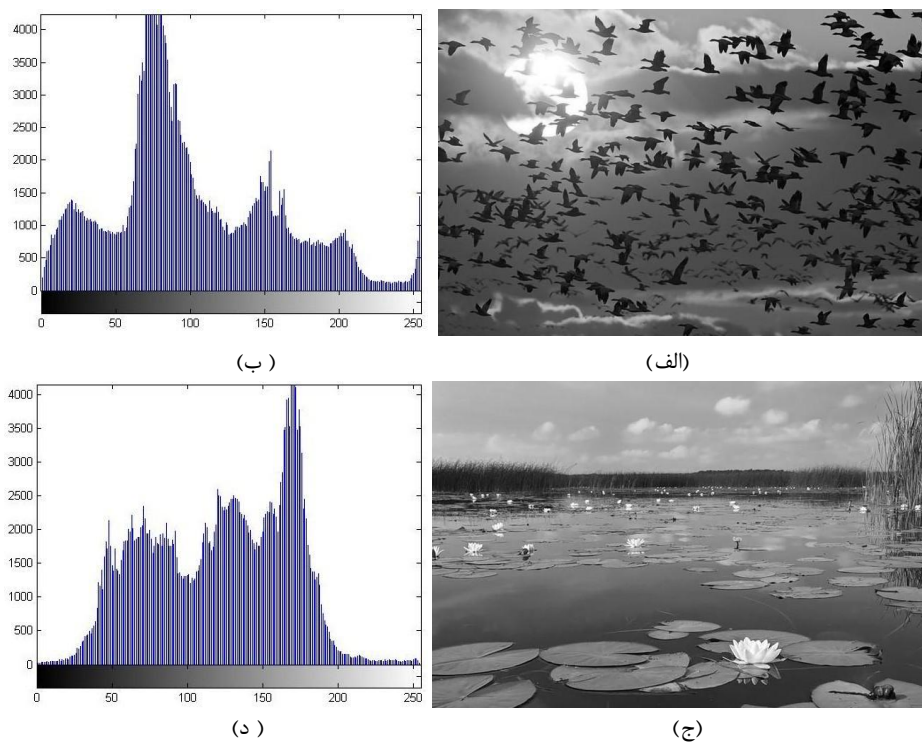
⁷ Local Binary Pattern

⁸ Auto-Correlation



شکل 2-1. (الف) تصویری با 3 سطح خاکستری (ب) هیستوگرام تصویر (الف)

در شکل (2-2) نیز هیستوگرام دو تصویر واقعی نشان داده شده است لازم به توضیح است که هر دو تصویر دارای 256 سطح خاکستری هستند.



شکل 2-2. نمونه هایی از هیستوگرام
 (الف) تصویر اصلی [4], (ب) هیستوگرام تصویر الف، (ج) تصویر اصلی [4], (د) هیستوگرام تصویر ج

هیستوگرام تصویر می‌تواند به صورت مستقیم یا غیر مستقیم، اطلاعات با ارزشی از تصویر را در اختیار کاربر قرار دهد. در همین راستا یک سری معیارهای آماری که به ویژگی‌های "هارلیک"

$$Mean = \bar{g} = \sum_{g=0}^{L-1} g P(g)^{10}$$

نیز شهرت دارند، ارائه شده‌اند که هر کدام خصوصیاتی از تصویر را نشان می‌دهند. برخی از این ویژگی‌ها به شرح زیر هستند(معادلات 1-2 الی 4-):

(1 - 2)

معادله (1 - 2)، میانگین تصویر را محاسبه می‌کند که می‌تواند معرف خوبی از میزان تابناکی^۱ تصویر باشد. در این معادله g نشان دهنده سطوح خاکستری بوده و $P(g)$ احتمال رخداد سطح g در تصویر است.

$$\sigma_g = \sqrt{\sum_{g=0}^{L-1} (g - \bar{g})^2 P(g)} \quad (2 - 2)$$

معادله (2 - 2)، انحراف از استاندارد تصویر را محاسبه می‌کند که می‌تواند معرف خوبی از میزان وسعت اطلاعات^۲ در تصویر باشد.

$$E = \sum_{g=0}^{L-1} [P(g)]^2 \quad (3 - 2)$$

معادله (3 - 2)، انرژی را در تصویر محاسبه می‌کند که می‌تواند معرف خوبی از چگونگی توزیع سطوح خاکستری^۳ در تصویر باشد.

$$H = -\sum_{g=0}^{L-1} P(g) \log_2 [P(g)] \quad (4 - 2)$$

معادله (4 - 2)، آنتروپی تصویر را محاسبه می‌کند که می‌تواند معرف خوبی از میزان بیت‌های لازم جهت کد کردن تصویر باشد.

در معادلات (1 - 2) الی (4 - 2)، L نشان دهنده ماکریم سطوح خاکستری و $P(g)$ نشان دهنده احتمال برخورد به هر کدام از سطوح خاکستری (ارتفاع آن سطح در هیستوگرام نرم‌الشده) است. در نهایت میزان هر کدام از این معیارها در تصویر مورد نظر می‌تواند معرف خوبی از بافت آن تصویر باشد . بنابراین برای آنالیز بافت تصاویر می‌توان از خصایص هیستوگرام استفاده نمود.

ب- ماتریس‌های هم‌رخدادی

یکی از عملگرهای پرکاربرد برای آنالیز بافت تصاویر، ماتریس‌های هم‌رخدادی هستند. در اصطلاح ماتریسهای هم‌رخدادی، چگونگی وابستگی فضایی سطوح خاکستری مختلف نسبت به

¹ Brightness

² Spread

³ Gray-Level Distribution

یکدیگر را می سنجند . در همین راستا ابتدا نوع خاصی از رابطه فضایی تعریف شده و سپس میزان رخداد رابطه فضایی مورد نظر برای هر کدام از سطوح خاکستری درون تصویر نسبت به تمامی سطوح دیگر بررسی می شود. برای فهم بهتر، مثالی در شکل (2-3) نشان داده شده است. در این شکل، ابتدا نوع رابطه فضایی مورد نظر توسط Relation مشخص شده و سپس میزان رخداد سطوح خاکستری نسبت به یکدیگر (با در نظر گرفتن رابطه مورد نظر) در ماتریس محاسبه شده است . توجه گردد که رابطه نشان داده به معنای رابطه نود درجه (یک پیکسل به سمت پایین) است. همانطور که می بینید هر کدام از سطور افقی مربوط به یک سطح بوده و هر خانه از ماتریس نشان می دهد که چندبار این سطح با سطح خاکستری ستون مورد نظر دارای رابطه فضایی R بوده است. به طور مثال خانه سطر سوم و ستون اول ماتریس نشان می دهد که 4 بار پس از سطح خاکستری 2 در تصویر در پیکسل سمت راست سطح خاکستری صفر وجود دارد.

2	2	0	2
2	2	0	1
0	1	2	0
2	2	0	1

(الف)

$$R = \begin{bmatrix} 0 \\ 1 \end{bmatrix}$$

$$\begin{matrix} & 0 & 1 & 2 \\ \left[\begin{matrix} 0 \\ 1 \\ 2 \end{matrix} \right] & & & \end{matrix}$$

(ب)

شکل 2-3. (الف) تصویر اصلی با 3 سطح خاکستری (ب) ماتریس هم رخدادی برای (الف) با رابطه R

با توجه به توضیحات فوق، می توان با توجه به هر نوعی از رابطه فضایی، یک ماتریس هم رخدادی برای تصویر مورد نظر محاسبه کرد . از آنجایی که ماتریس های هم رخدادی ارتباطات پیکسل ها با یکدیگر را نشان می دهند، بنابراین چنانچه بتوان معیارهای با ارزشی از درون آنها استخراج نمود، این ماتریس ها می توانند معرف خوبی از بافت تصویر مورد نظر باشند . در این راستا تاکنون معیارهای آماری گوناگونی تعریف شده که از اصلی ترین آنها می توان به انرژی و آنتروپی و تباين¹، هم جنسی² و همبستگی³ اشاره کرد. برای محاسبه این سری از ویژگی ها

¹ Contrast

² Homogeneity

³ Correlation

باید در ابتدا ماتریس هم رخدادی نرمال شده و سپس معادلات مربوطه محاسبه شود . برای نرمال سازی ماتریس کافی است که ارزش هر خانه به مجموع کل ارزش های درون ماتریس تقسیم گردد. معادله (2-5) این موضوع را بیان می کند.

$$N(p, q) = V(p, q) / \sum_{i=1}^n \sum_{j=1}^m V(i, j) \quad (5-2)$$

در معادله فوق، n و m نشان دهنده سایز ماتریس همرخدادی هستند که برابر با تعداد سطوح خاکستری به کار رفته در تصویر است. همچنین p و q به ترتیب سطر و ستون خانه مورد نظر، V ماتریس هم رخدادی و N ماتریس هم رخدادی نرمال شده را نشان می دهند. نحوه محاسبه معیارهای آماری فوق در معادلات (6-3) الی (6-10) با جزیيات بیان شده است [3, 6].

$$H = - \sum_{i=1}^n \sum_{j=1}^m N(i, j) \log(N(i, j)) \quad (6-2)$$

$$\text{Constant} = \sum_{i=1}^n \sum_{j=1}^m (i - j)^2 N(i, j) \quad (7-2)$$

$$E = \sum_{i=1}^n \sum_{j=1}^m N^2(i, j) \quad (8-2)$$

$$\text{Homogeneity} = \sum_{i=1}^n \sum_{j=1}^m N(i, j) / \left(1 + |i - j| \right) \quad (9-2)$$

$$\text{Correlation} = \frac{\sum_{i=1}^n \sum_{j=1}^m (i - \mu_i)(j - \mu_j) N(i, j)}{\sigma_i \sigma_j} \quad (10-2)$$

2-1-2- روش های آنالیز ساختاری

جهت آنالیز بافت تصویر، برخی از روش ها ساختار بافت را مورد بررسی قرار می دهند . بدین معنا که الگوها و بافت هایی را از پیش طراحی کرده و به دنبال میزان و مناطق رخداد آنها در تصویر می گردند. ساختارهای از پیش طراحی شده می توانند بسیار ساده باشند همچون ویژگی خاصی برای هر پیکسل و یا تا حدی پیچیده تر باشند همچون ساختارهایی برای یک همسایگی کوچک یا بزرگ. البته در برخی دیگر از روش های این گروه نیز ویژگی های بافتی (معیارهایی عددی) برای شناسایی استفاده می شوند. از جمله مشهور ترین روش هایی که در زمرة این گروه جای می گیرند می توان به سنجش نمایش اسکلت¹ [31 و 32]، عملگر های مورفولوژی² [33] و

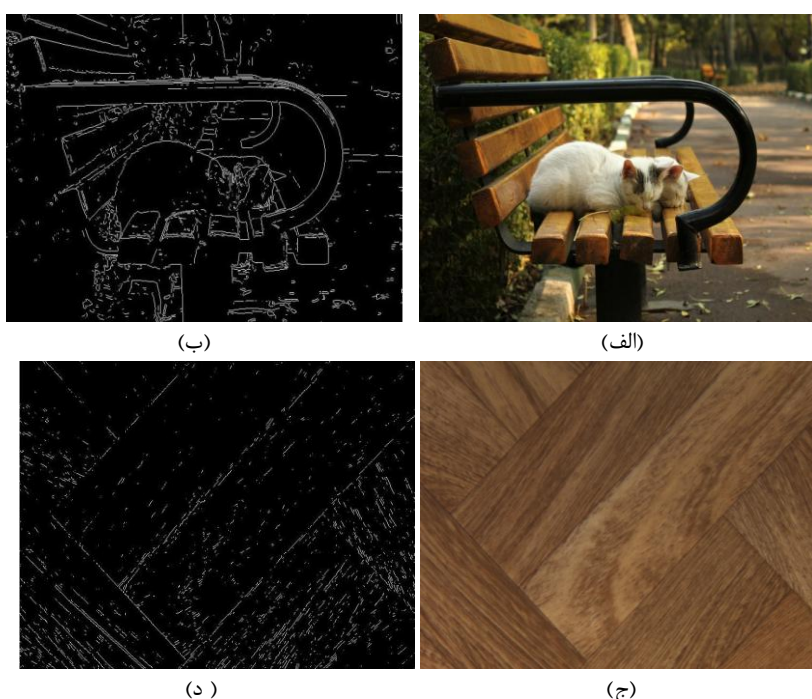
¹ Skeleton Representation

² Morphological Operators

[34]، واحد های ساختاری پیش تعریف^۱ [35] و [36]، ویژگی های لبه^۲ [37]، [38] و [39]، اشاره کرد. در ادامه برای درک بهتر مفهوم ساختار و روش های ساختاری جهت نمونه روش ویژگی های لبه با جزئیات مورد بررسی قرار خواهد گرفت.

الف- ویژگی های لبه

به پیکسل هایی از تصویر که شدت روشنایی آنها نسبت به همسایگانش جهش قابل ملاحظه ای داشته باشد (افزایش / کاهش) اصطلاحاً لبه گفته می شود. لبه یابی یکی از مسائل پر کاربرد در حوزه پردازش تصویر است . این عمل توسط اپراتورهای مختلفی همچون سوبل ^۳، کنی ^۴، پریویت^۵ و ... می تواند صورت گیرد. عملکرد این اپراتورها بدین صورت است که به وابسته تعریف نوعی فیلتر، در تصویر به دنبال پیکسل هایی می گردند که می توانند شروط فیلتر را ارضاء کنند . (فیلترها به صورتی طراحی شده اند که تنها پیکسل هایی که جزو لبه هستند، شرایط را ارضاء می کنند). چند نمونه از تصاویر لبه یابی شده توسط فیلترهای مختلف در شکل (3 - 4) نشان داده شده است.



شکل 4-2. نمونه هایی از لبه یابی

(الف) تصویر اصلی [109]. (ب) تصویر لبه یابی شده توسط فیلتر سوبل با حد آستانه 0.07
(ج) تصویر اصلی [109]. (د) تصویر لبه یابی شده توسط فیلتر کنی با حد آستانه 0.3

¹ Primitive Measurement

² Edge Features

³ Sobel

⁴ Canny

⁵ Prewitt

تصویر لبه یابی شده می تواند معرف خوبی برای بافت تصویر باشد، به شرط آنکه بتوان ویژگی های قابل محاسبه ای را از درون آن استخراج نمود. در همین راستا ویژگی هایی همچون تعداد پیکسل های لبه، هیستوگرام بزرگی^۱ و هیستوگرام جهت^۲، تاکنون ارائه شده اند. همانطور که از تعریف فیلتر لبه یابی و عملکرد آن برداشت می شود، این فیلترها در تصویر به دنبال ساختارهای معینی می گردند، بنابراین می توان این روش را در زمرة روش های ساختاری قرار داد.

ب - Scale Invariant Feature Transform (SIFT)

دیوید لوو در [136]، روشی خلاقانه برای استخراج ویژگی هایی محلی با قدرت تفکیک دهنده^۳ بالا از تصویر، تحت عنوان "تبديل ویژگی های مستقل از مقیاس (SIFT)" ارائه داد. روش ارائه شده در [136] که برای حل مسئله تشخیص شی^۴ مطرح شده است، تصویر را به مجموعه بزرگی از بردارهای ویژگی منتقل می کند که هر کدام از آنها نسبت به چرخش و جابجایی تصویر^۵ کاملا مستقل بوده و نسبت به تغییرات میزان روشنایی^۶ تصویر نیز مقاومت بالایی دارند. نحوه استخراج ویژگی توسط عملگر SIFT را می توان یک روش مرحله ای دانست که در مرحله اول ابتدا مکان های کلیدی^۷ تصویر شناسایی می شوند. در [136]، مکان های کلیدی تصویر، نقاطی از تصویر تعریف می شوند که تابع تفاوت گوسین^۸ (DOG) در آن نقاط ماکزیمم یا مینیمم می شوند. سپس هر نقطه کلیدی برای تولید یک بردار ویژگی استفاده می شود که بخش های محلی^۹ تصویر را توصیف می نمایند. دیوید لوو در [136]، بردارهای ویژگی استخراجی را نقاط SIFT نامیده و اعتقاد دارد که این ویژگی ها نسبت به تغییرات محلی تصویر تا حد زیادی مستقل هستند . دیوید لوو در [137]، روش مبتکرانه خود را با ترکیب تشخیص دهنده ناحیه مستقل از مقیاس و عملگری مبتنی بر نحوه توزیع گرادیان محلی^{۱۰} تصویر بهبود می بخشد.

¹ Magnitude

² Direction

³ Discriminative

⁴ Object Recognition

⁵ Image Translation

⁶ Illumination

⁷ Key locations

⁸ Difference of Gaussian

⁹ Local Region

¹⁰ Local Gradient Distribution

تاکنون در تحقیقات متنوعی، محققان تلاش کرده‌اند نسخه‌های بهبود یافته ای از عملگر SIFT را برای کاربردهای متنوع پردازش تصویر از جمله تشخیص شی، تشخیص چهره، بازیابی تصویر، دسته بندی بافت تصویر و غیره ارائه دهند.

به عنوان مثال، در [138]، که و سوکتانکار روشنی تحت عنوان PCA-SIFT ارائه داده اند که با استفاده از الگوریتم آنالیز مولفه دستور دهنده¹ (PCA)، ابعاد عملگر SIFT را در حالت رایج از 128 بعد به 36 بعد کاهش می‌دهد. در تلاشی دیگر، میکولاجسزیک و اشمید در [139]، نسخه بهبود یافته‌ای از SIFT تحت عنوان GLOH به عنوان مخفف هیستوگرام مکان و جهت گرادیان² ارائه دادند که مقاومت و قدرت تمایز پذیری³ SIFT را افزایش می‌دهد.

ج Bi-dimensional Empirical Mode Decomposition

تجزیه مدل تجربی (EMD) [142]، یکی از روش‌های آنالیز بافت تصویر است که در زمرة روش‌های چند وضوحی⁴ قرار می‌گیرد. به صورت تئوری، EMD یک سیگنال ثابت یک بعدی را نشان می‌دهد که معرف مجموع مولفه‌های مدولاسیون جریان و مدولاسیون فرکانس می‌باشد. EMD در حوزه پردازش سیگنال معمولاً برای آنالیز سیگنال‌های یک بعدی غیر خطی کاربرد دارد. عملگر EMD، سیگنال ورودی یک بعدی را به یک سری سیگنال‌های باند محدود که توابع نمای ذاتی⁵ (IMF) نامیده می‌شوند تجزیه⁶ می‌نماید. نونز و همکارانش در [143]، نسخه دو بعدی EMD را تحت عنوان تجزیه مدل تجربی دو بعدی (BEMD) ارائه می‌دهند که سیگنال دو بعدی را به توابع نمای ذاتی دو بعدی (2D-IMF) تجزیه می‌نماید. به دلیل ساختار دو بعدی، BEMD در بحث پردازش تصویر، کاربرد وسیعی جهت آنالیز بافت تصویر دارد. مراحل استخراج ویژگی توسط عملگر BEMD را می‌توان به صورت خلاصه این چنین بیان کرد:

- ❖ مشخص کردن مکان‌های ماکریم و مینیمم تصویر توسط عملگرهای مورفولوژیک و عملگرهای کوتاه ترین فاصله⁷
- ❖ درون یابی سطح بین تمام نقاط ماکریم و مینیمم توسط الگوریتم RBF و تولید دو محدوده X_{\max} و X_{\min}
- ❖ میانگین گیری بین دو محدوده تعیین شده و تولید محدوده X_M
- ❖ تفریق تصویر از محدوده میانگین: $h_1 = I - X_M$

¹ Principal Component Analysis (PCA)

² Gradient Location and Orientation Histogram (GLOH)

³ Distinction

⁴ Multiresolution

⁵ Intrinsic Mode Function (IMF)

⁶ Decompose

⁷ Geodesic operator

❖ تکرار مراحل فوق تا زمانی که h_1 تولید شده شرایط یک IMF دو بعدی را داشته باشد

2-3-1-2 روشهای مبتنی بر مدل

بسیاری از روشهای آنالیز بافت تصویر را تحت عنوان روشهای مبتنی بر مدل می نامیم. این روشنها، تلاش می کنند به کمک ساختارهای پیش ساخته ای، الگوی تکرار در تصویر یا بافت تصویر را مدل کنند. به عنوان مثال در [54] برای مدل کردن پارچه های سالم از میدان گوسی تصادفی مارکف^۱ استفاده شده است. از جمله دیگر روشنها این حوزه می توان به مدل های فرکتال^۲ [55 و 56]، ملاک بافت^۳ و مدل پسرفت خودکار^۴ [57] اشاره کرد.

2-4-1-2 روشهای مبتنی بر فیلتر

برخی از روشنها برای آنالیز بافت تصویر از فیلترهایی از پیش طراحی شده، استفاده می کنند. این دسته از روشنها، ابتدا فیلتر را طراحی کرده و سپس تصویر مورد نظر را از فیلتر عبور داده و خروجی مورد نظر را از دیدگاه های متفاوت آنالیز می کنند. عموماً فیلترها در یکی از دو حوزه زی تعريف می شوند:

الف. حوزه فضایی^۵ [40 و 41] ب. حوزه فرکانس^۶ [42 و 43]

برخی فیلترها نیز به صورت ترکیبی و مختلط در هر دو حوزه تعريف می شوند. [44، 45، 46]

الف- حوزه فضایی

در علم پردازش تصویر، حوزه فضایی در واقع به دامنه پیکسلها و شدت روشنایی آنها گفته می شود. بنابراین فیلترهایی که در این حوزه تعريف می شوند، فیلترهایی هستند که به صورت مستقیم بر روی شدت روشنایی پیکسلها و مکان هندسی آنها در تصویر اعمال می شوند. به عنوان مثال، همانطور که در بخش 2-1-2-1 عنوان شد، فیلترهایی خاصی برای تشخیص لبه در تصاویر طراحی شده اند، اگر به عملکرد این فیلترها دقیق کنیم، آنها برای تشخیص لبه، شدت روشنایی نقاط همسایه هر پیکسل را با آن می سنجند. بنابراین حوزه عملکرد آنها به طور مستقیم بر روی مکان فیزیکی و شدت روشنایی نقاط است. از این رو است که فیلترهای لبه یابی را می توان در زمرة روشنها آنالیز بافت تصویر مبتنی بر فیلترهای حوزه فضایی نیز قرار

¹ Gaussian Markov Random Field

² Fractal Model

³ Exemplar

⁴ Autoregressive

⁵ Spatial Domain

⁶ Frequency Domain

داد. به عنوان مثال در [47]، کلونس و همکارانش، الگوریتمی برای آنالیز بافت تصاویر بر اساس ترکیبی از نتایج فیلتر کردن فرکانسی همسو^۱، فیلتر کردن طیف‌ها^۲ و فیلتر کردن محیط فضایی (دامنه) ارائه می‌دهند. کلونس و همکارانش برای فیلتر کردن تصویر در محیط فضایی و استخراج ویژگی‌های بافتی تصویر از فیلترهای مشهور لبه یا بی استفاده نموده‌اند. از دیگر انواع فیلترهایی که برای آنالیز بافت تصویر استفاده می‌شوند می‌توان به فیلتر تابع گوسی^۳ [48]، فیلتر لاپلاسین [49]، فیلترهای پاسخ ضربه محدود خطی^۴ [50] و ... اشاره کرد که توضیح هر کدام مفصل بوده و در حوزه این مقاله نمی‌باشد.

ب- حوزه فرکانس

برخی از فیلترها در حوزه فرکانس تعریف شده و در آن محیط بر روی تصویر اعمال می‌شوند. بنابراین، برای اینکه بتوان از آنها در رابطه با تصاویر دیجیتال استفاده کرد، می‌بایست باید ابتدا تصویر مورد نظر توسط تبدیلات موجک به حوزه فرکانس رفته تا تعریف سیگنالی آن حاصل شود. سپس فیلترهای مورد نظر بر روی مولفه‌های فرکانسی آن اعمال گردد. از جمله فیلترهای این حوزه می‌توان به تبدیل موجک^۵ [51]، فیلترهای گابور [52] و فیلترهای قلم^۶ [53] اشاره کرد. اطلاعات استخراجی از محیط فرکانس معمولاً نسبت به ویژگی‌های محیط فضایی پایدارتر بوده و از این جهت کاربرد وسیعی نیز دارند . ولیکن بار محسوباتی بالا و زمان اجرای بیشتر از جمله معایب برخی از این گروه فیلترها می‌باشد.

2.2. Texture Classification Methods

همانطور که در فصل قبل نیز توضیح داده شد، دسته‌بندی^۷ به معنای نسبت دادن یک نمونه به یکی از گروه‌های از پیش تعریف شده می‌باشد. در دسته‌بندی بافت تصویر^۸ نیز هدف نسبت دادن بافت یک تصویر نمونه‌ی آزمایشی به یکی از کلاس‌های بافتی از پیش تعریف شده است . روش‌های ارائه شده برای دسته‌بندی بافت تصویر معمولاً شامل دو مرحله اصلی : الف. مرحله آموزش^۹ (استخراج ویژگی) و ب. مرحله تشخیص^{۱۰} (دسته‌بندی) [7, 8, 9] می‌باشند.

¹ Isotropic Frequency Filtering

² Spectral Filtering

³ Gaussian Function Filter

⁴ Linear Finite Impulse Response Filter

⁵ Wavelet Filter

⁶ Wedge Filter

⁷ Classification

⁸ Image Texture Classification

⁹ Learning Phase

¹⁰ Recognition Phase

در مرحله آموزش، هدف ساختن یک مدل برای هر کدام از بافت هایی است که در تصاویر آموزشی پایگاه^۱ وجود دارد. بنابراین، تمامی روش هایی که پیشتر برای آنالیز بافت تصویر مطرح شد، می توانند در این مرحله مورد استفاده قرار گیرند. به همین منظور، کافی است که خروجی آنالیز بافت به صورت هایی همچون ویژگی های عددی، هیستوگرام های گسسته، توزیع های تجربی^۲، خصایص آماری، خصایص بافتی^۳ همچون تباين، ساختار فضایی، جهت و ... تبدیل گردد تا امكان مقایسه و دسته بندی آنها وجود داشته باشد . به عبارت ساده تر در این مرحله می بایست یک سری ویژگی تفکیک کننده از بافت تصویر استخراج گردد . از آنجایی که هدف اصلی این مرحله، آموزش بافت های مذکور به سیستم است، برخی محققان آن را مرحله یادگیری^۴ نیز می نامند.

در مرحله دوم، با استفاده از انواع دسته بند ها می بایست کلاس بافتی تصویر مورد آزمایش مشخص گردد. در این مرحله نوآوری کمتر بوده زیرا در اکثر موارد از دسته بندهای متعارفی همچون انواع شبکه های عصبی، انواع دسته بندهای خطی مانند آنالیز تفکیک کننده خطی^۵ (LDA)، دسته بندهای آماری همچون نزدیک ترین همسایه^۶ (KNN)، ماشین بردار پشتیبان^۷ (SVM) و ... استفاده می گردد. البته در برخی از تحقیقات نیز محققان تلاش می کنند که با تغییر پارامترهای ورودی، دسته بندهای کلاسیک را با مسئله و کاربرد مورد نظر تحقیق سازگار^۸ کنند.

دسته وسیعی از محققان در این حوزه به این نظریه اعتقاد دارند که "در شناسایی و درک تصاویر، بافت مستقل از دیگر ویژگی های تصویر از جمله رنگ و شکل^۹ آن است". به همین منظور، تاکنون روش های بسیار متنوعی برای آنالیز بافت تصاویر با سطوح خاکستری^{۱۰} ارائه شده است. نویسنده این مقاله با این نظریه موافق نبوده و اعتقاد دارد که "على الرغم استقلال بافت تصویر از رنگ و شکل ، ولكن در درک و دسته بندی تصاویر، تركيب ويزگي هاي بافت و رنگ مى تواند دقت دسته بندی^{۱۱} را افزایش دهد". در زیر بخش ۲-۴ به این نظریه بیشتر

¹ Training Data

² Empirical Distribution

³ Texture Properties

⁴ Learning Phase

⁵ Linear Discriminant Analysis (LDA)

⁶ K Nearest Neighbor (KNN)

⁷ Support Vector Machine (SVM)

⁸ Adapt

⁹ Shape

¹⁰ Gray-Level Texture Images

¹¹ Classification Accuracy

پرداخته خواهد شد. ولی فعلاً در زیر بخش 2-3، برخی از روش‌های به روز^۱ و پرکاربرد برای آنالیز بافت تصاویر با سطوح خاکستری به اختصار بررسی و نقد خواهد شد.

2.3. Review on Gray-level Texture Classification

استفاده از ویژگی‌های آماری یکی از قدیمی‌ترین راهکارها برای آنالیز انواع تصاویر بخصوص تصاویر بافتی می‌باشد. به عنوان مثال در سال 1995، کویی‌چن و همکارانش [58]، روشی برای دسته بندی بافت تصاویر با سطوح خاکستری بر پایه ویژگی‌های آماری هندسی^۲ ارائه کردند. ویژگی‌هایی همچون نامنظمی^۳، تراکم^۴، احاطگی^۵، میانگین شدت روشنایی و انحراف از استاندارد^۶ در این روش برای آنالیز بافت تصویر مورد استفاده قرار گرفته‌اند. کویی‌چن و همکارانش در [58]، روش ارائه شده خودشان را با سه روش ماتریس وابستگی فضایی سطوح خاکستری^۷ (SGLDM)، ویژگی‌های لیو بر اساس تبدیل فوریه و ماتریس ویژگی‌های آماری^۸ (SFM) مقایسه کرده و نشان می‌دهند که روش ایشان دقیق‌ترین دسته بندی بالاتری را فراهم می‌کند. در نقد این مقاله می‌توان دو مزیت و سه عیوب را ذکر کرد که در جدول 2-1 آورده شده است.

جدول 2-1. تحلیل مزیت‌ها و عیوب دسته بندی بر اساس ویژگی‌های آماری هندسی [58]

معایب	مزایا
<ul style="list-style-type: none">• دقیق دسته بندی ارائه شده پایین است• ویژگی‌های آماری نسبت به نویز حساس هستند• روش ارائه شده را نمی‌توان به تصاویر رنگی تعمیم داد• ویژگی‌های آماری ذاتاً نسبت به چرخش تصویر حساس هستند	<ul style="list-style-type: none">• بار محاسباتی ویژگی‌های آماری به دلیل فرمول مشخص، کم است

مزایای استفاده از ویژگی‌های آماری باعث شده است که در طی سالیان اخیر همچنان از این گروه ویژگی‌ها، خواه به صورت مستقل و خواه به صورت ترکیب با دیگر عملگرهای آنالیزی بافت، جهت دسته بندی بافت تصویر استفاده گردد. به عنوان مثال در [59]، وارما و زیسرمن

¹ State-Of-the-art

² Geometrical Statistical Features

³ Irregularity

⁴ Compactness

⁵ Perimeter

⁶ Standard Deviation

⁷ Spatial Gray Level Dependence Matrix (SGLDM)

⁸ Statistical Features Matrix

الگوریتمی برای دسته بندی بافت بر پایه استخراج ویژگی های آماری ارائه داده اند که فقط از یک نمونه تصویر آموزشی استفاده می کنند. در [59]، تصویر آموزشی بر اساس توزیع احتمالی پاسخ فیلتر ضربه مدل شده و سپس هیستوگرام آن رسم گردیده و در نهایت ویژگی آماری از هیستوگرام خروجی استخراج می گردد. در [59]، از تابع فاصله مبتنی بر معیار² λ، برای مرحله دسته بندی استفاده شده است. مزایا و معایب این روش در جدول 2-2 بیان شده است.

جدول 2-2. تحلیل مزیت ها و عیوب دسته بندی بر اساس ویژگی های آماری از تصویر تنها [59]

معایب	مزایا
<ul style="list-style-type: none"> • بار محاسباتی بالا به دلیل چند مرحله اعمال فیلتر و استخراج هیستوگرام • دقت دسته بندی بالایی فراهم نمی کند • روش ارائه شده را نمی توان به تصاویر رنگی تعمیم داد 	<ul style="list-style-type: none"> • حساسیت اندک نسبت به نقطه نظر تصویر برداری و روشنایی نامتعارف در تصویر • عدم حساسیت به چرخش در تصویر

در تحقیقات متنوعی، برخی از محققان تلاش کرده اند که از ترکیب ویژگی های آماری با دیگر عملگرهای آنالیزی، ویژگی هایی با قدرت تفکیک پذیری بالاتر فراهم کنند . به عنوان مثال در [60]، از ترکیب ویژگی های آماری و ویژگی های موجک¹ جهت دسته بندی بافت تصاویر تومورهای مغزی انسان استفاده شده است. در [60]، پس از اعمال تابع تبدیل موجک بر روی تصویر، ویژگی های آماری همچون بی نظمی²، تباين³، تجانس⁴، همبستگی⁵ و لحظه دوم زاویه ای⁶ استخراج می گردد. در این مقاله از دسته بندهای ماشین بردار پشتیبان و نزدیک ترین همسایه برای محاسبه دقت دسته بندی⁷ اسفاده گردیده است. این روش علی الرغم دقت دسته بندی بالا که بر روی پایگاه تصاویر MRI مغز فراهم می نماید، معایبی نیز دارد که در جدول 3-2، بیان شده است.

¹ Wavelet Features

² Entropy

³ Contrast

⁴ Homogeneity

⁵ Correlation

⁶ Angular Second Moment

⁷ Classification Accuracy

جدول 2-3. تحلیل مزیت ها و عیوب دسته بندی بر اساس ویژگی های آماری مرتبه اول و دوم در تبدیل موجک [60]

معایب	مزایا
• عدم سازگاری احتمالی با تصاویر بافتی غیر از مغز انسان	• دقت دسته بندی بالا بر روی تصاویر MRI مغز انسان • بار محاسباتی نسبتاً پایین در مقایسه با روش های مطرح شده در حوزه تصاویر MRI
• حساسیت نسبت به چرخش، نویز، روش نسایی ^۱	• سازگاری با انواع دسته بندی ها
• عدم امکان تعمیم روش به تصاویر رنگی به دلیل استفاده از تابع تبدیل موجک	

در [63]، بارلی و تونن الگوریتمی برای دسته بندی بافت تصویر بر اساس ترکیب ویژگی های تبدیل موجک، ویژگی های گابور موجک، هرم هدایت شونده^۲ و ماتریس های همرخدادی سطوح خاکستری ارائه کرده اند. روش ترکیبی خلاقانه ارائه شده در [63]، تلاش دارد که از مزایای تمامی عملگرهای فوق یکجا استفاده نماید. این امر نارسانی هایی را هم نتیجه داده شده است که در جدول زیر نشان داده شده است.

جدول 2-4. تحلیل مزیت ها و عیوب دسته بندی بر اساس ترکیب تبدیل موجک، موجک گابور و هرم هدایت شده [63]

معایب	مزایا
• بار محاسباتی بسیار زیاد به دلیل ترکیب 5 گروه عملگر آنالیزی	• کارایی بالا در مواجهه با انواع بافت ها • عدم حساسیت به تغییر مقیاس تصویر
• نیاز به تغییرات بنیادین برای تعمیم روش به تصاویر رنگی و در نتیجه بار محاسباتی بالاتر	• ارائه دقت دسته بندی بالا با استفاده از انواع دسته بندی های کلاسیک

ویژگی های تبدیل موجک که در مثال قبل نیز مطرح شد، از دیرباز مورد علاقه محققین جهت آنالیز و دسته بندی بافت تصاویر بوده است. در یکی از تحقیقات قدیمی [61] که در سال 1993 انجام شد از ویژگی های حاصل از اعمال بانک فیلتر موجک برای دسته بندی بافت تصاویر در یک پایگاه دست ساز شامل 25 تصویر طبیعی استفاده شد. در [61] برای مرحله آزمایش از دسته بند شبکه عصبی دولایه ساده^۳ استفاده شده است. مزایای مثبت استفاده از تابع تبدیل موجک باعث گردیده است که محققین در سالهای اخیر بر روی ترکیب این ویژگی ها با انواع دیگر عملگر های آنالیز بافت تمرکز نمایند. به عنوان مثال در [62]، روشی بر پایه ترکیب خروجی تبدیل موجک و ویژگی های ماتریس های همرخدادی برای دسته بندی بافت

¹ Illumination

² Steerable Pyramid

³ Simple Two-Layer Neural Network

تصاویر با سطوح خاکستری ارائه شده است. در این روش، ابتدا تصویر تحت تابع تبدیل موجک به فضای فرکانس منتقل شده و سپس از تصویر تبدیل یافته، ماتریس‌های همرخدادی در جهات گوناگون استخراج می‌گردد. نویسنندگان این مقاله مهم ترین دستاوردهای خودشان را ارائه روشنی مقاوم به تغییر مقیاس^۱ (زمم شدن) تصویر اعلام می‌نمایند. جدول ۲-۴ مزایای و معایب این روش را از دیدگاه نویسنده مقاله بیان می‌کند.

جدول ۲-۵. تحلیل مزیت‌ها و عیوب دسته بندی بر اساس ترکیب ماتریس همرخدادی و تبدیل موجک [62]

معایب	مزایا
<ul style="list-style-type: none"> • حساسیت نسبت به چرخش و نویز به دلیل استفاده از ماتریس‌های همرخدادی • عدم امکان تعمیم روش به تصاویر رنگی به دلیل استفاده از تابع تبدیل موجک 	<ul style="list-style-type: none"> • دقیق دسته بندی مناسب • عدم حساسیت به تغییر مقیاس تصویر

ترکیب ویژگی‌های استخراجی از فیلتر موجک و فیلتر گابور نیز در [64] برای دسته بندی بافت در تصاویر دریافت شده از رادار مورد بررسی قرار گرفته است. بزرگترین مزیت آن را می‌توان عدم حساسیت به چرخش در کنار دقیق دسته بندی مناسب برای کاربرد مطرح شده عنوان کرد. فارغ از ویژگی‌های آماری و تبدیلات محیط فرکانس، روش‌های متنوع دیگری نیز برای دسته بندی بافت تصاویر با سطوح خاکستری مطرح شده اند که از آن جمله می‌توان به گروه ویژگی‌های ساختاری اشاره کرد. یکی از معروف‌ترین عملگرهای آنالیز ساختاری، الگوی دودویی محلی^۲ (LBP) است. الگوهای دودویی محلی یک عملگر آنالیزی است که ساختار فضایی محلی^۳ و تباين محلی^۴ تصویر را تعریف می‌نماید. این عملگر اولین بار توسط پیتکان و اوجالا در [65]، برای آنالیز بافت تصویر ارائه شد. عدم حساسیت نسبت به چرخش و بار محاسباتی مناسب، محققین را بر آن داشت تا در سالهای بعد نسخه‌های بهبود یافته آن را ارائه دهند. از آنجایی که در این مقاله نیز از همین عملگر برای دسته بندی بافت تصاویر رنگی استفاده شده است، توضیح جزئیات آن را به فصل سوم موکول کرده و در ادامه تنها به مرور مقالاتی می‌پردازیم که از این عملگر جهت دسته بندی بافت تصویر استفاده کرده‌اند. در [66]، اوجالا و همکارانش، نسخه بهبود یافته‌ای از الگوهای دودویی محلی را ارائه کرده و از ترکیب آن

¹ Multi-Scale

² Local Binary Patterns

³ Local Spatial Structure

⁴ Local Contrast

با ویژگی های تباین برای دسته بندی بافت تصاویر استفاده کرده اند. یکی از خلاصت های این مقاله، استفاده از معیار عدم شباهت لگاریتم درست نمایی برای مرحله دسته بندی است. مزایای فوق العاده این الگوریتم باعث شده است که این مقاله یکی از پر استناد ترین^۱ مقالات در حوزه آنالیز بافت تصویر باشد . در جدول زیر، مزایا و معایب این الگوریتم از دیدگاه نویسنده مورد بررسی قرار گرفته است.

جدول 2-6. تحلیل مزیت ها و عیوب دسته بندی بر اساس نسخه مستقل از چرخش الگوی دودویی محلی [66]

معایب	مزایا
<ul style="list-style-type: none"> • حساسیت به نویز به ویژه نویز ضربه ای • عدم تعریف اولیه برای تصاویر رنگی 	<ul style="list-style-type: none"> • دقیق دسته بندی مناسب • عدم حساسیت به چرخش^۲ • حساسیت کم به تغییر مقیاس تصویر^۳

قریب به ده سال پس از مقاله [66]، لیو و همکارانش در [67]، نسخه دیگری از الگوهای دودویی محلی برای دسته بندی بافت تصاویر ارائه کردند . در [67]، چهار عملگر جدید به نام های شدت روشنایی مرکزی الگوهای دودویی محلی^۴ (CI-LBP)، شدت روشنایی همسایگان الگوهای دودویی محلی^۵ (NI-LBP)، تفاوت محوری الگوهای دودویی محلی^۶ (RD-LBP) و تفاوت زاویه ای الگوهای دودویی محلی^۷ (AD-LBP) ارائه می گردد که ترکیب آنان دقیق دسته بندی را افزایش داده است . بزرگترین نقطه ضعف [67] را می توان با محاسباتی بسیار بالا به دلیل پیاده سازی چهار عملگر مجزا و عدم استفاده از ویژگی های رنگ عنوان کرد ویژگی های استخراجی از فیلترهای لبه یابی نیز در زمرة گروه ویژگی های ساختاری قرار می گیرند. ویژگی های لبه علی الرغم آنکه به خودی خود توانایی بالایی در دسته بندی بافت ندارند ولی در ترکیب با دیگر ویژگی ها می توانند نتایج مفیدی حاصل کنند. به عنوان مثال در [68]، ترکیبی نوآورانه از ویژگی های استخراجی از فیلترهای لبه یابی ، الگوهای دودویی محلی و ماتریس های همرخدادی برای دسته بندی تصاویر با سطوح خاکستری ارائه شده است . روش

¹ Hot Cited

² Rotation Invariant

³ Multi Scale Invariant

⁴ Center Intensity Local Binary Patterns (CI-LBPP)

⁵ Neighbors Intensity Local Binary Patterns (NI-LBPP)

⁶ Radial Difference Local Binary Patterns (RD-LBPP)

⁷ Angular Difference Local Binary Patterns (CI-LBPP)

سه مرحله ای ارائه شده در این مقاله، دقت بالاتری نسبت به استفاده منفرد از عملگرهای آنالیزی الگوی دودویی محلی ساده و ماتریس های همرخدادی فراهم آورده است که د لیل آن را می توان ترکیب با ویژگی های لبه دانست. نقد [68] در جدول زیر آورده شده است.

جدول 2-7. تحلیل مزیت ها و عیوب دسته بندی بر اساس ترکیب الگوی دودویی محلی و ماتریس همرخدادی و لبه [68]

معایب	مزایا
• بار محاسباتی بالا به دلیل فاز آموزش سه مرحله ای حساسیت به نویز ضربه ای به دلیل استفاده از الگوی دودویی محلی	• دقت دسته بندی بالاتر نسبت به نسخه اولیه الگوی دودویی محلی
• عدم امکان تعمیم آسان به تصاویر رنگی	• عدم حساسیت به چرخش

در تحقیقی دیگر، ترکیب ویژگی های لبه با عملگرهای موفولوژیک برای دسته بندی بافت مورد بررسی قرار گرفته است. در [69]، ابتدا عملگر موفولوژیک بازکنندگی¹ بر روی تصویر اعمال شده و سپس لبه یابی می گردد. در نهایت میزان رخداد الگوهای لبه در چهار جهت عمودی، افقی، چپ و راست به عنوان ویژگی استخراج می گردد. نویسندهای [69]، ارائه الگوریتمی کارآمد با پیاده سازی آسان را هدف اصلی خود بیان می دارند.

تاكnoon الگوریتم های بسیار متنوع دیگری نیز برای دسته بندی بافت تصاویر با سطوح خاکستری ارائه شده است. در مثالی متفاوت، در [70]، فکری ارشاد، روشی بر اساس تغییرات انرژی در تصاویر فیلتر شده توسط عملگرهای الگوی دودویی محلی، لبه یابی و ماتریس همرخدادی ارائه کرده است. در الگوریتم [70]، ابتدا عملگر الگوی دودویی محلی بر روی تصویر اعمال شده و سپس انرژی تصویر خروجی با استفاده از معادله 2-6 محاسبه می گردد. در ادامه، همین داستان بر پایه فیلتر لبه یابی سوبل و ماتریس همرخدادی نیز تکرار می گردد. در نهایت میزان تفاوت انرژی تصویر اصلی با انرژی های محاسبه شده در هر حالت، به عنوان یکی از ابعاد بردار ویژگی نهایی در نظر گرفته می شود. سازگاری مناسب بردار ویژگی با انواع دسته بندها و دقت دسته بندی بالا از جمله محسن² این الگوریتم می باشد. استفاده از اطلاعات آماری هیستوگرام نیز در موارد متعددی جهت آنالیز بافت مورد استفاده قرار گرفته که در برخی موارد نتایج مثبتی نیز به همراه داشته است. به عنوان مثال در [71]، از هیستوگرام خروجی تصویر تحت عملگر الگوی دودویی محلی برای دسته بندی بافت تصاویر با کاربرد مشخص جهت

¹ Opening

² Advantages

تشخیص دود^۱ استفاده شده است. در [71]، ابتدا الگوی دودویی محلی ساده بر روی تصویر اعمال شده و سپس گرادیان کدهای خروجی محاسبه می‌گردد و در نهایت هیستوگرام هایی بر اساس نرخ رخداد گرادیان‌ها تشکیل می‌شود. در این الگوریتم، برای مرحله دسته بندی نیز از ماشین بردار پشتیبان استفاده شده است. نویسنندگان این مقاله نکته مثبت روش ارائه شده را در نظر گرفتن رابطه بین کدهای الگوهای دودویی محلی اعلام می‌کنند. همانطور که پیشتر در بخش ۲-۱-۲ اشاره شد، عملگر BEMD یکی از عملگرهای کارآمد در حوزه آنالیز سیگنال‌های دو بعدی و پردازش تصویر است. ژیاوو و همکارانش در [144]، از این عملگر جهت آنالیز تصاویر بافتی و استخراج ویژگی‌های بافت تصویر استفاده کرده‌اند. در [144]، ابتدا تصویر بافتی توسط BEMD به تعدادی توابع نمای ذاتی (IMF) شکسته شده و سپس خصایص محلی^۲ IMF‌های دو بعدی استخراج می‌گردد. روش‌های ارائه شده در حوزه دسته بندی بافت، به ویژه در تصاویر با سطوح خاکستری، بسیار متنوع است. بنابراین در راستای پیشبرد اهداف، این مقاله، برخی از مقالات و کتاب‌ها در این حوزه بر اساس فاکتورهایی نظیر اعتبار مجلات، میزان استناد، میزان ارتباط با موضوع اصلی مقاله و مزایای ارائه شده در الگوریتم، انتخاب و مورد بررسی قرار گرفت که برخی از آنها در این بخش توضیح داده شد. ولی ارائه جزئیات تمامی آنها در حوصله این مقاله نمی‌گنجد. بنابراین در جدول زیر به اختصار به برخی از این روش‌ها اشاره شده است.

¹ Smoke Detection

² Local Properties

جدول 2-8. بررسی برخی از روش های ارائه شده جهت دسته بندی و آنالیز بافت تصاویر با سطوح خاکستری

مرجع	روش ارائه شده	سال ارائه	ردیف
[57]	مدل کردن پسرفت خودکار ^۱ چند مقیاسی	1992	1
[61]	بانک ویژگی های تبدیل موجک	1993	2
[58]	ویژگی های آماری هندسی	1995	3
[72]	ویژگی های استخراجی از قاب های موجک ^۲	1995	4
[73]	مدل کردن ویژگی های گابور-موجک در محیط ترکیبی فرکانس و فضا ^۳	1999	5
[74]	آنالیز فرکتال دو بعدی	1999	6
[75]	تبدیل فوریه محلی	2001	7
[76]	آنالیز مولفه های دستوری تحت کرنل ^۴	2001	8
[66]	نسخه مستقل از چرخش و چند مقیاسی الگوهای دودویی محلی	2002	9
[62]	ترکیب ویژگی های آماری و ماتریس های همرخدادی مستخرج از تبدیل موجک	2002	10
[77]	تأثیر انرژی قطبی موجک ^۵	2003	11
[78]	ویژگی های هیستوگرام طیفی ^۶	2003	12
[137]	تبدیل ویژگی مستقل از مقیاس (SIFT)	2004	13
[138]	ترکیب تبدیل ویژگی های مستقل از مقیاس (SIFT) و الگوریتم آنالیز مولفه دستور دهنده ^۷ (PCA)	2005	14
[79]	ترکیب ویژگی های مرتبه اول و دوم آماری و ماتریس های همرخدادی و فرکتال	2006	15
[80]	مدل ترکیب گوسی ^۸ به همراه بانک فیلتر های موجک	2007	16
[81]	نسخه بهبود یافته الگوهای دودویی محلی به همراه توزیع فضایی نمونه های غالب ^۹	2007	17
[48]	تراکم گوسی تعمیم یافته ^{۱۰} برای مدل کردن فرکانس های بالا موجک	2007	18
[82]	آنالیز میزان همبستگی به کمک مدل پسرفت خطی ^{۱۱} بر اساس تبدیل موجک	2008	19
[83]	بخش بندی فاز محلی مستخرج از چهار ضرب فرکانس پایین	2008	20
[84]	الگوهای بافتی محلی ^{۱۲}	2008	21
[85]	الگوهای دودویی محلی غالب	2009	22
[144]	ترکیب تجزیه مدل تجربی دو بعدی (BEMD) و عملگر آنالیز محلی ساختار چهار وجهی ^{۱۳}	2009	23
[86]	فیلتر های گابور انتخابی توسط روش های انتخاب ویژگی ^{۱۴}	2010	24

¹ Autoregressive

² Wavelet Frames

³ Spatial-Frequency Domain

⁴ Kernel Principal Component Analysis (KPCA)

⁵ Log-Polar Wavelet Energy Signature

⁶ Spectral Histogram

⁷ Principal Component Analysis (PCA)

⁸ Gaussian Mixture Model(GMM)

⁹ Spatial Distribution of Dominant Patterns

¹⁰ Generalized Gaussian Density (GDD)

¹¹ Linear Regression Model

¹² Local Texture Patterns (LTP)

¹³ Quaternionic Representation

¹⁴ Feature Selection

[87]	ارائه روشی چند مرحله ای در حد پیکسل ^۱ بر اساس الگوی انتخاب خروجی فیلترها	2010	25
[68]	ترکیب ویژگی های استخراجی لبه، الگوهای دودویی محلی و ماتریس های هم خدادای	2011	26
[88]	نگاشت مرتب شده جهت ترکیب خروجی عملگرهای مختلف آنالیز بافت	2012	27
[60]	ترکیب ویژگی های مرتبه اول و دوم همچون ویژگی های آماری و ویژگی های موجک	2012	28
[67]	نسخه بهبود یافته الگوهای دودویی محلی بر اساس شدت روشنایی مرکزی، شدت روشنایی همسایگان، تفاوت محوری و تفاوت زاویه ای	2012	29
[70]	تغییرات انرژی در خروجی های ماتریس های هم خدادای	2012	30
[89]	ارائه روشی برای انتخاب تصادفی ویژگی های بافتی بر اساس روش کیف کلمات ^۲	2012	31
[90]	نسخه مستقل از نویز الگوهای دودویی محلی	2013	32
[91]	ارائه نوعی از ویژگی بی نظمی احتمالی مبتنی بر اطلاعات فیلتر گوسین	2013	33
[92]	الگوهای پشتیبان محلی بر پایه الگوهای دودویی محلی	2014	34
[63]	ترکیب عملگرهای ماتریس های هم خدادای، گابور موجک و هرم هدایت شونده	2014	35
[93]	ارائه عملگری بر مبنای جهت محلی ^۳ پیکسل ها	2015	36
[94]	ترکیب الگوهای دودویی میانه ^۴ بر اساس تغییر مقیاس همسایگی	2015	37
[95]	ترکیب هیستوگرام های تولیدی پله ای ^۵ در زیر باندهای تبدیل موجک ^۶	2015	38
[96]	ارائه روشی بر پایه برنامه ریزی ژنتیک ^۷ برای انتخاب سازگارترین دسته ویژگی - های بافت	2015	39
[97]	نسخه بهبود یافته الگوهای دودویی محلی بر اساس میانه شدت روشنایی محلی	2016	40
[98]	ویژگی های تفاوت های بخش های کوچک متراکم ^۸ در تصویر	2016	41
[99]	نسخه بهبود یافته مقاوم در برابر نویز الگوهای دودویی محلی ^۹	2016	42

2.4. Color Texture Classification

چشمان انسان زمانی که یک تصویر را مشاهده می نماید، آن را به صورت ترکیبی از مولفه هایی همچون بافت، شکل^{۱۰} و رنگ درک می کند^[10]. بخش عمده ای از روش هایی که تاکنون برای آنالیز بافت تصویر ارائه شده اند، فقط بر روی تصاویری با سطوح خاکستری^{۱۱} عمل می کنند. در حالی که یکی از ویژگی های کلیدی که می تواند در دسته بندی و آنالیز تصاویر استفاده شود،

¹ Multi Level Pixel-Based

² Bag of Words

³ Local Orientation Adaptive

⁴ Median Binary Pattern (MBP)

⁵ Heterogeneous and Incrementally Generated Histograms (HIGH)

⁶ Wavelet Sub bands

⁷ Genetic Programming

⁸ Dense Micro-Block Differences (DMD)

⁹ Noise-Tolerant Local Binary Patterns (NTLBP)

¹⁰ Shape

¹¹ Gray Levels Images

رنگ است. ترکیب ویژگی های رنگ تصویر در کنار ویژگی هایی همچون شکل و حرکت در کاربردهای گوناگونی از حوزه پردازش تصویر استفاده شده و نتایج مثبتی را به ارمغان آورده است که از آن جمله می توان به تشخیص اشیا^۱ [11] و ردیابی حرکت^۲ [12] اشاره کرد. بخش عمده‌ای از تصاویری که ما با آنها سر و کار داریم، رنگی هستند، بنابراین در نظر نگرفتن ویژگی های رنگ، در آنالیز چنین تصاویری به هیچ عنوان معقول نیست . اهمیت این موضوع و همچنین تحقیقات نه چندان وسیعی که تاکنون در این حوزه صورت گرفته، ما را بر آن داشت تا در این مقاله، راهکاری برای دسته بندی بافت تصاویر رنگی ارائه نمایم . در راستای این هدف اصلی، در این مقاله تمرکز اصلی بر روی مرحله یادگیری بوده و تلاش می گردد که عملگری برای آنالیز تصاویر رنگی ارائه گردد که ویژگی های استخراجی از بافت و رنگ را با یکدیگر ترکیب نماید تا ماکزیمم دقت دسته بندی و ماقزیمم توانایی تفکیک پذیری^۳ بدست آید. البته در راستای افزایش دقت دسته بندی، بر روی مرحله دسته بندی نیز کارهایی صورت خواهد گرفت و تلاش می شود تا دسته بندهای کلاسیک را با ب ردارهای ویژگی استخراجی سازگار نماییم. باز محاسباتی کم، مقاومت نسبت به نویز، مقاومت نسبت به چرخش از دیگر نکاتی است که در ارائه عملگر آنالیز تصاویر بافتی، مورد نظر قرار داده شده است.

2.5. Review on Color Texture Classification Methods

در راستای ترکیب ویژگی های بافت و رنگ، معمولاً دو راهکار متدائل وجود دارد که بیشتر از طرف محققان دنبال می شود: ترکیب اولیه^۴ و ترکیب ثانویه^۵ [13].

هر تصویر رنگی معمولاً نتیجه ترکیب اطلاعات در سه کanal رنگی مجزا است که به هر کدام از کanal ها می توان به چشم یک تصویر تک رنگ (تصویر دارای سطوح خاکستری) نیز نگاه کرد. در راهکار ترکیب اولیه، ابتدا اطلاعات کanal های رنگی از یکدیگر مجزا شده و سپس عملگرهای آنالیز بافت بر روی هر کanal رنگی تصویر به صورت مجزا اعمال می شوند. در نهایت یک سری ویژگی از هر کanal استخراج شده و با یکدیگر ترکیب (متصل) می گردند. این دسته از ویژگی -

¹ Object Recognition

² Motion Tracking

³ Discriminative

⁴ Early Fusion

⁵ Late Fusion

های استخراجی زمانی که در تصویر ویژگی های بافت و رنگ در سطح پیکسل ترکیب شده باشند، قدرت جداسازی^۱ بالایی را فراهم کرده و دقت دسته بندی را افزایش می‌دهند. در نقطه مقابل، در راهکار ترکیب ثانویه، ویژگی های بافت و رنگ به صورت مجزا (معمولًا به شکل هیستوگرام) استخراج شده و در نهایت هیستوگرام های مجزا به یکدیگر پیوست شده^۲ و بازنمایی^۳ نهایی را تشکیل می‌دهند [14]. به عبارت دیگر در ترکیب ثانویه، ویژگی های بافت و رنگ در سطح کل تصویر محاسبه شده و در نهایت با یکدیگر ترکیب می‌شوند تاکنون روش های متنوعی برای دسته بندی بافت تصاویر رنگی بر اساس یکی از دو راهکار فوق ارائه شده است. روش های هر گروه نیز در مراحل یادگیری (استخراج ویژگی) یا دسته بندی با یکدیگر تفاوت می‌کنند. همانطور که پیشتر اشاره شد، تمرکز اصلی این مقاله بر روی مرحله یادگیری است. بنابراین در راستای ارائه عملگر ترکیبی آنالیز بافت- رنگ، بسیاری از روش های پیشین در این حوزه مورد مطالعه قرار گرفت و مزایا و معایب هر کدام بررسی شد . در ادامه برخی از روش های کارآمد مطالعه شده به اختصار توضیح داده خواهند شد

۲-۵-۲- ترکیب بافت و رنگ بر اساس نسخه بهبود یافته ماتریس های همرخدادی^۴

بنکو و همکارانش در [10]، روشی برای دسته بندی بافت در تصاویر رنگی بر پایه ماتریس های همرخدادی ارائه دادند. این الگوریتم در مرحله یادگیری هر تصویر رنگی را به سه کanal رنگی مجزا تقسیم کرده و سه تصویر تک رنگ می سازد. سپس ماتریس های همرخدادی را برای هر تصویر در ۴ جهت مختلف شامل صفر، ۹۰ و ۱۳۵ درجه محاسبه و تشکیل می دهد. ماتریس های همرخدادی از جمله عملگرهای آنالیز احتمالی هستند، بنابراین انواع ویژگی های آماری^۵ همچون میانگین، واریانس، بی نظمی^۶، انرژی، اطلاعات مشتول^۷، انحراف از استاندارد^۸ و غیره از آن قابل استخراج می باشد. ویژگی های آماری فوق را غالباً ویژگی های هارالیک^۹ نیز می نامند [100]. در این مقاله نویسندها ادعا کرده اند که بسیاری از ویژگی های آماری فوق، با

¹ Discriminative

² Concatenating

³ Representation

⁴ Co-occurrence matrixes

⁵ Statistical Features

⁶ Entropy

⁷ Mutual Information

⁸ Standard Deviation

⁹ Haralick Features

یکدیگر همپوشانی اطلاعاتی زیادی دارند . بنابراین در جهت کاهش بار محاسباتی برای هر ماتریس ویژگی تجانس¹ را محاسبه کرده‌اند. ویژگی تجانس در معادله زیر نشان داده شده است.

است.

$$Homogeneity_{d,\theta} = \sum_i \sum_j \frac{P_{d,\theta}(i,j)}{1 + |i-j|^2} \quad (11-2)$$

در معادله فوق، α و β نشان‌دهنده مختصات سطر و ستون در ماتریس همرخدادی بوده و P نیز نشان‌دهنده مقدار احتمالی خانه مورد نظر در ماتریس است . θ نیز جهت (زاویه) محاسبه ماتریس همرخدادی و d نیز فاصله در نظر گرفته شده در تعریف همسایگی ماتریس همرخدادی را نشان می‌دهد. بنابراین در این الگوریتم، پس از محاسبه تجانس برای هر ماتریس همرخدادی، در نهایت یک بردار ویژگی 12 بعدی به عنوان خروجی مرحله یادگیری بدست می‌آید. در [10]، برای مرحله دسته‌بندی از ماشین بردار پشتیبان² استفاده شده است. در مرحله نتیجه‌گیری، دقت دسته‌بندی روش ارائه شده، بر روی دو پایگاه داده معروف در این حوزه به نامهای Outex و Vistex آزمایش شده است. نویسنده‌گان دقت دسته‌بندی را در فضاهای رنگی HSV³ و RGB⁴ و همچنین تصویر تک رنگ با سطوح خاکستری بررسی کرده‌اند. در نهایت بالاترین دقت در پایگاه Vistex به میزان 92.42 در فضای رنگی RGB و در پایگاه Outex به میزان 90.97 در فضای HSV حاصل شد. همچنین در مقام مقایسه، نویسنده‌گان نشان داده‌اند که استخراج ویژگی با استفاده از فیلترهای گابور برای هر کanal رنگی دقت دسته‌بندی چندان بالایی را به ارمغان نمی‌آورد و در بالاترین مقدار به 89.04 درصد می‌رسد. با توضیحات فوق، این روش ارائه شده را می‌توان در زمرة‌ی راهکارهای ترکیب اولیه در نظر گرفت . مزایا و معایب این روش در جدول زیر ذکر شده است.

جدول 2-9. تحلیل مزیت‌ها و عیوب دسته‌بندی تصاویر رنگی بر اساس نسخه بهبود یافته ماتریس‌های همرخدادی [10]

معایب	مزایا
• بار محاسباتی متوسط به دلیل محاسبه 12 ماتریس همرخدادی حساسیت به چرخش تصویر به دلیل عدم در نظر گرفتن تمامی جهات هشت گانه ماتریس همرخدادی	• دقت دسته‌بندی نسبتاً بالا
• عدم ارائه دلیل قطعی برای نادیده گرفتن اکثر ویژگی‌های آماری	• امکان سازگاری روش با اکثر فضاهای رنگی
• عدم ارائه دلیل قوی برای در نظر گرفتن ویژگی تجانس به عنوان اطلاعات کانال‌های رنگی	• بررسی ترکیب اولیه ویژگی‌های گابور

¹ Homogeneity

² Support Vector Machine

³ Red-Green-Blue

⁴ Hue-Saturation-Value

2-5-2- ترکیب رنگ و بافت بر پایه استخراج ویژگی های آماری از الگوهای دودویی محلی و ماتریس های هم رخدادی

اخلفی و همکارانش در [101] روشی برای دسته بندی فرآورده های صنعتی از قبیل چوب، فابریک¹، فیبرهای طبیعی² و تخته های سقفی³ ارائه داده اند. با توجه به تصاویر رنگی اکثر فرآورده ها، ایشان در تحقیق خود تلاش کرده اند که از ویژگی های بافت در کنار رنگ، توأم استفاده نمایند. همچون بخش قبل، در روش پیشنهادی اخلفی و همکار ان نیز ابتدا تصویر رنگی (در هر فضای رنگی که باشد) به سه کanal رنگی مجزا تقسیم می گردد. بنابراین روش ایشان هم در زمره ای گروه ترکیب اولیه قرار می گیرد. سپس در هر کanal رنگی به صورت مجزا ماتریس های هم رخدادی (در هشت جهت متفاوت) و الگوی دودویی محلی⁴ محاسبه می گردد. در ادامه به ازای هر ماتریس هم رخدادی، پنج ویژگی آماری شامل بی نظمی، انرژی، تباين، تجانس و همبستگی محاسبه می شود . از طرفی در تصویر خروجی ناشی از اعمال الگوی دودویی محلی، نیز همین ویژگی های آماری استخراج می گردد. نویسنده این برای مرحله دسته بندی، از روش نزدیک ترین همسایه استفاده می کنند . ولیکن فاصله هر دو تصویر را طبق معادله زیر محاسبه می نمایند:

$$\Delta_{final} = \Delta_R + \Delta_G + \Delta_B \quad (12 - 2)$$

در معادله فوق Δ_B ، Δ_G ، Δ_R به ترتیب نشان دهنده فاصله اقلیدسی بردارهای ویژگی استخراجی برای تصاویر در هر کدام از کanal های رنگی است. در مرحله نتایج، 4 پایگاه مجزا از تصاویر انواع چوب، فابریک، فیبر طبیعی و تخته سقفی به صورت دستی تهیه شده و در هر پایگاه عمل دسته بندی جداگانه انجام گرفته است . برای هر پایگاه دو آزمایش به صورت زیر انجام شده است :

- با استفاده از ویژگی های آماری استخراجی از ماتریس های هم رخدادی در سه فضای رنگی مجزا La^*b^* HSL^5 و RGB

¹ Fabric

² Organic Fibers

³ Roofing Shingles

⁴ Local Binary Patterns

⁵ Hue-Saturation-Luminance

- با استفاده از ویژگی های آماری استخراجی از الگوهای دودویی محلی در سه فضای رنگی La^*b^* , HSL و RGB

در نهایت نتایج نشان داده است که در تمامی پایگاه ها بهترین نتایج در فضای رنگی RGB و با استفاده از ماتریس های هم خدادی حاصل شده است . به طور مثال در دسته بندی چوب ها، دقت 90٪ با استفاده از ماتریس هم خدادی و دقت 75٪ با استفاده از الگوی دودویی محلی ساده حاصل شد. به طور مشابه در مورد فیبرهای طبیعی نیز دقت دسته بندی بر پایه ماتریس هم خدادی 95٪ و بر پایه الگوی دودویی محلی 85٪ بدست آمد. مزايا و معایب روش [101] در جدول زیر منعکس شده است.

جدول 2-10. تحلیل مزیت ها و عیوب دسته بندی تصاویر رنگی بر اساس استخراج ویژگی های آماری از ماتریس های هم خدادی و الگوهای های دودویی محلی [101]

معایب	مزایا
<p>24 ماتریس</p> <ul style="list-style-type: none"> • بار محاسباتی بالا به دلیل محاسبه هم خدادی • عدم تعیین روش ارائه شده به تصاویر عمومی بافتی (نه فقط تصاویر برخی از فرآورده های صنعتی) • عدم در نظر گرفتن نسخه های بهبود یافته الگوهای دودویی محلی (نسخه استفاده شده مربوط به 16 سال پیش است) • نسخه الگوهای دودویی محلی در این مقاله، ذاتاً عملگری آماری نیست و واضح است که استخراج ویژگی های هارالیک از خروجی آن نتایج مثبتی نخواهد داشت 	<ul style="list-style-type: none"> • دقت دسته بندی نسبتاً بالا برای تصاویر فرآورده های صنعتی مورد آزمایش • امکان سازگاری روش با اکثر فضاهای رنگ • بررسی توامان انواع ویژگی های آماری • عدم حساسیت به چرخش به دلیل محاسبه ماتریس هم خدادی در هشت جهت و ذات چرخش ناپذیری الگوهای دودویی محلی

2-5-3- ترکیب رنگ و بافت بر اساس نسخه بهبود یافته الگوهای دودویی محلی

پوربسکی و همکارانش در [102]، نسخه خلاقانه ای از الگوهای دودویی محلی را ارائه کرده اند که در آن ویژگی های بافت و رنگ به صورت توامان در حین محاسبه ای الگوهای دودویی محلی با یکدیگر ترکیب می شوند. بهتر آن است که قبل از بررسی این روش، به اختصار الگوهای دودویی محلی توضیح داده شود.

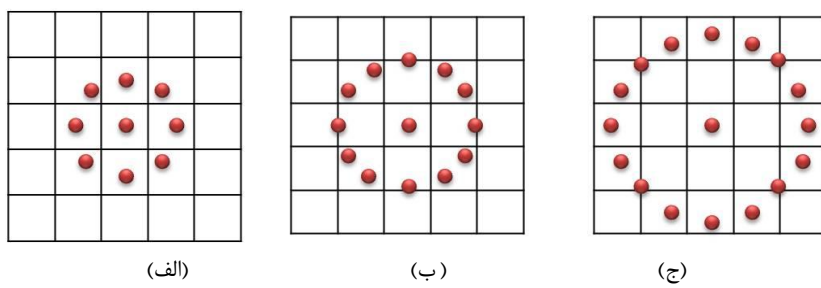
الگوی دودویی محلی¹ در واقع عملگری غیرپارامتریک است که تباین محلی و ساختار فضایی محلی تصویر را بررسی می کند. عملکرد این عملگر بدین صورت است که در ابتدا برای هر کدام

¹ Local Binary Patterns (LBP)

از پیکسل های تصویر، یک همسایگی در نظر گرفته می شود و سپس میزان الگوی دودویی محلی برای پیکسل مورد نظر در همسایگی تعیین شده، به کمک معادله زیر محاسبه می شود

$$LBP_{P,R} = \sum_{i=0}^{P-1} S(g_i - g_c) 2^i \quad \rightarrow \text{به صورتی که} \quad S(x) = \begin{cases} 1 & x \geq 0 \\ 0 & x < 0 \end{cases} \quad (13-2)$$

در معادله فوق g_i شدت روشنایی نقاط همسایگی و g_c شدت روشنایی نقطه مرکزی است. معمولاً برای آنکه عملگر فوق، نسبت به چرخش حساس نباشد، همسایگی به صورت دایره ای در نظر گرفته می شود. بنابراین با توجه به شعاع همسایگی (R)، تعداد نقاط همسایه (P) می تواند متفاوت باشد. چند نمونه از همسایگی دایره ای با شعاع (R) در شکل 5-2 نشان داده شده است. همانطور که در شکل مشاهده می گردد، مختصات برخی از نقاط همسایگی دقیقاً روی مرکز پیکسل قرار نمی گیرند. شدت روشنایی این نقاط به کمک درون یابی محاسبه می شوند.



شکل 2-5. نمونه هایی از همسایگی دایروی [108]
 $R=2$ و $P=8$ (الف). $R=1.5$ و $P=12$ (ب). $R=1$ و $P=16$ (ج).

با توجه به تفاسیر فوق، خروجی عملگر الگوی دودویی محلی، عددی دودویی با P بیت اطلاعات است. در شکل زیر، مثالی از محاسبه الگوی دودویی محلی در نقطه مرکزی با همسایگی به شعاع 1، نشان داده شده است.

49	217	203
172		166
94	85	47

(الف)

→

0	1	1
1		1
0	0	0

(ب)

1	2	4
128		8
64	32	16

(ج)

$$LBP = 2 + 4 + 8 + 128 = 142$$

شکل 2-6. مثالی از نحوه محاسبه الگوهای دودویی محلی

(الف) همسایگی مربعی 3×3 (ب) مقایسه پیکسل مرکزی با همسایه ها (ج) محاسبه LBP

در هر تصویر رنگی، هر پیکسل دارای سه مقدار شدت روشنایی مستقل در هر کanal رنگی به صورت مجزا است. پوربسکی و همکارانش در [102]، پیشنهاد دادند که در معادله (2-13) هر سه مولفه رنگی همزمان در نظر گرفته شود . بنابراین معادله زیر جهت محاسبه میزان الگوی دودویی محلی را مطرح کردند :

$$CLBP_{P,R} = \sum_{i=0}^{P-1} S \left(\sqrt{C_{1n}^2 + C_{2n}^2 + C_{3n}^2} \right) 2^i \quad \rightarrow \quad S(x) = \begin{cases} 1 & x \geq T \\ 0 & x < T \end{cases}$$

$$, T = \sqrt{C_{1P}^2 + C_{2P}^2 + C_{3P}^2} \quad (14-2)$$

در معادله فوق، C_{3P}, C_{2P}, C_{1P} به ترتیب نشان دهنده شدت روشنایی پیکسل مرکزی در کanal های رنگی 1، 2 و 3 و C_{3n}, C_{2n}, C_{1n} به ترتیب نشان دهنده شدت روشنایی همسایه در کanal های رنگی 1، 2 و 3 می باشد. نویسندها در ادامه برای تصویر خروجی حاصل از اعمال عملگر الگوهای دودویی محلی، ویژگی های هارالیک را محاسبه و روش خود را بر روی پایگاه تصاویر رنگی BarkTex آزمایش نمودند. نتایج آنها، دقت 85.6 درصد را بر روی این پایگاه فراهم نمود. مزايا و معایب روش [102]، در جدول زیر بیان شده است.

جدول 2-11. تحلیل مزیت ها و عیوب دسته بندی تصاویر رنگی بر اساس استخراج ویژگی های هارالیک از نسخه ترکیبی الگوهای دودویی محلی و اطلاعات کanal های رنگی [102]

معایب	مزایا
• بار محاسباتی نسبتاً بالا به دلیل محاسبه عملگر در سه کanal رنگی مجزا	• دقت دسته بندی نسبتاً بالا بر روی پایگاه مورد نظر
• عدم ارائه دلیل قطعی برای موفقیت معادله ارائه شده بر روی تصاویر رنگی	• ترکیب اولیه اطلاعات رنگ و بافت که مزاياي
• عملکرد عملگر ارائه شده می باشد بر روی دیگر پایگاه ها نیز بررسی شود	مطرح شده در مورد ترکیب اولیه را فراهم می کند

4-5-2- ترکیب ثانویه رنگ و بافت بر پایه هیستوگرام الگوهای دودویی محلی و کanal های رنگی

برخلاف مثالهای پیشین، نینگ و همکارانش در [103] روشی ثانویه برای ترکیب ویژگی های رنگ و بافت ارائه دادند . در [103]، صورت مسئله اصلی نویسندها ارائه روشی برای ردیابی اشیا در تصاویر ویدیویی است . بنابراین در مرحله یادگیری برای تعریف موقعیت و شکل شی مورد نظر تلاش کرده اند که ویژگی های رنگ و بافت را توأماً در نظر بگیرند تا ویژگی های

استخراجی معرف قوی تری از شی مورد نظر باشند. بنابراین سه هیستوگرام درجه‌بندی شده بر اساس ویژگی‌های رنگ در کanal های رنگی مجزا و یک هیستوگرام بر اساس نسخه اولیه الگوهای دودویی محلی تعریف کرده اند. در این روش، ابتدا تصویر رنگی (هر فضای رنگی دلخواه) به سه کanal مجزا تقسیم شده و سپس هیستوگرام نرمال شده هر کدام تشکیل می - گردد. سپس ستون های هر هیستوگرام را به دسته های n تایی تقسیم کرده و به اصطلاح هیستوگرام درجه‌بندی¹ می‌شود. در ادامه الگوی دودویی محلی به صورتی که پیش‌تر اشاره شد، محاسبه شده و هیستوگرام تصویر خروجی آن نیز نرمال و درجه بندی می‌شود. در نهایت هر دسته از هیستوگرام یکی از ابعاد بردار ویژگی نهایی را تشکیل داده و چهار هیستوگرام با یکدیگر پیوست² می‌شوند. بدین ترتیب اگر $n=32$ در نظر گرفته شود، یک بردار ویژگی 32 بعدی از تصویر ورودی استخراج خواهد شد . در بخش نتیجه گیری، نویسنده‌گان بار محاسباتی پایین و دقت تشخیص بالا را از جمله مزایای روش خود ابراز می‌کنند. در این الگوریتم بر خلاف روش‌های پیشین، ویژگی‌های استخراجی رنگ و بافت به صورت مجزا استخراج شده و در نهایت بدون تلفیق، در کنار یکدیگر پیوست شدند. بنابراین این روش در زمرة گروه ترکیب ثانویه قرار می‌گیرد. مطابق روال این مقاله مزايا و معایب این روش از دیدگاه نویسنده مقاله در جدول زیر نشان داده شده است.

جدول 2-12. تحلیل مزیت‌ها و عیوب دسته بندی تصاویر رنگی بر اساس ترکیب ثانویه هیستوگرام کanal های رنگی و نسخه اولیه الگوهای دودویی محلی [103]

معایب	مزایا
<ul style="list-style-type: none"> • حساسیت به نویزهای محلی به دلیل ضعف ماهوی نیخه اولیه الگوهای دودویی محلی و استخراج ویژگی‌های کلی رنگ • عملکرد عملکر ارائه شده می‌باشد بر روی دیگر پایگاه‌ها نیز بررسی شود • حساسیت به پارامترهای ورودی از جمله فضای رنگی و تعداد ستون‌ها در مرحله درجه بندی هیستوگرام 	<ul style="list-style-type: none"> • ترکیب ثانویه اطلاعات رنگ و بافت که در تصاویری که بافت و رنگ در سطح کلی تصویر ترکیب شده اند بسیار مفید است • بار محاسباتی کمتر نسبت به برخی از روش‌های مبتنی بر هیستوگرام به دلیل استفاده از روش درجه بندی • دقت نسبتاً بالا در کاربرد مورد نظر

¹ Quantized

² Concatenate

2-5-5- ترکیب رنگ و بافت بر پایه تابع تبدیل موجک^۱ و شبکه عصبی^۲

همانطور که پیش تر نیز اشاره شد، استفاده از ویژگی های محیط فرکانس در حوزه آنالیز بافت تصاویر کاربرد وسیعی دارد. عبدالقدیر سنگور در [104]، روشی برای دسته بندی بافت تصاویر رنگی بر اساس ترکیب اولیه ویژگی های رنگ و بافت در محیط تبدیل موجک ارائه داده است. در این مقاله، ابتدا تصویر به سه کanal رنگی مجزا تقسیم شده و سه تصویر حاصل می شود. سپس برای هر کدام از تصاویر، توسط تابع تبدیل موجک سطح یکم ^۳، سه زیر تصویر^۴ (High-High-Low) (High-Low) (Low-High) ^۵ تشکیل می گردد. در ادامه در هر زیر تصویر دو ویژگی بی نظمی و انرژی محاسبه می گردد. بنابراین در نهایت یک بردار ویژگی 18 بعدی تشکیل خواهد شد. در ادامه نیز از یک شبکه عصبی انتشار عقب گرد سه لایه استاندارد جهت دسته بندی بافت تصاویر ورودی استفاده میگردد. در بخش نتایج [104]، یک پایگاه داده از 1920 تصویر رنگی از 16 کلاس بافتی تشکیل شده و دقت دسته بندی بر روی آن محاسبه گردیده است که به طور میانگین دقت 94.6 بدست آمده است. مزايا و معایب روش پیشنهادی در جدول زیر آورده شده است.

جدول 2-13. تحلیل مزیت ها و عیوب دسته بندی تصاویر رنگی بر اساس ویژگی های آماری در زیر تصاویر موجک و شبکه عصبی انتشار عقبگرد[104]

معایب	مزایا
<ul style="list-style-type: none"> • عدم کاربرد بالا در زمانی که اطلاعات رنگ و بافت در حد تصویر با یکدیگر ادغام شده اند • بار محاسباتی نسبتاً بالا به دلیل تغییر محیط 	<ul style="list-style-type: none"> • دقت نسبتاً بالا • حساسیت اندک نسبت به نویز ضربه ای • حساسیت اندک نسبت به تغییر مقیاس

2-5-6- روش ترکیبی پنج عملگر محلی و کلی برای ترکیب اطلاعات رنگ و بافت

خان و همکارانش در [14] یک روش ترکیبی فشرده برای استخراج همزمان اطلاعات بافت و رنگ ارائه داده اند . خان و همکارانش اعتقاد دارند که ترکیب ویژگی های استخراجی از عملگرهای انانالیز رنگ و عملگرهای آنانالیز بافت می تواند مفید باشد. به همین منظور در [14] پس از مطالعه دسته وسیعی از عملگرهای کلی و جزئی در حوزه آنانالیز بافت و رنگ، پنج مورد

¹ Wavelet Transform

² Neural Network

³ First Order Wavelet

⁴ Sub-Band Image

⁵ Standard Three Layer Back-Propagation

را انتخاب کرده و بر روی تصویر اعمال کرده و پنج دسته بردار ویژگی مجزا استخراج می نمایند. سپس بردار های استخراجی را با روشی نوآورانه با یکدیگر ترکیب کرده و در نهایت با استفاده از روش های کاهش ابعاد^۱ بهترین زیر مجموعه از ابعاد را جهت آنالیز تصاویر استفاده می نمایند. عملگرهای استفاده شده در این مقاله عبارتند از: الگوهای دودویی گابور^۲، رده بندی فاز مح لی^۳، کد گشایی وبر^۴، الگوهای دودویی محلی کامل^۵، ویژگی های دودویی آماری^۶. در [14] دقیق دسته بندی بر روی چهار پایگاه داده مشهور تصاویر بافتی رنگی به نام های FMD، KTH-TIPS-2a، KTH-TIPS-2b، Texture-10 آزمایش شده که نتایج بسیار خوبی فراهم کرده است.

جدول 2-14. تحلیل مزیت ها و عیوب دسته بندی تصاویر رنگی بر اساس ترکیب ویژگی های استخراجی از پنج عملگر آنالیز محلی و کلی [14]

معایب	مزایا
<ul style="list-style-type: none"> • بار محاسباتی بسیار بالا به دلیل اعمال همزمان پنج عملگر پیچیده • حساسیت به نویز به دلیل عدم استقلال برخی از عملگرهای استفاده شده نسبت به انواع نویز • عدم تضمین زیر مجموعه کاهش بعد یافته ویژگی ها برای دیگر پایگاه های داده 	<ul style="list-style-type: none"> • دقیق دسته بندی بالا • حساسیت اندک نسبت به چرخش به دلیل استفاده از برخی عملگرهای مستقل از چرخش

7-5-2- ترکیب اطلاعات رنگ و بافت بر اساس ترکیب هیستوگرام رنگ و الگوهای دودویی محلی در محیط رنگی ترکیبی Ohta

پیتیکانن و همکارانش در [105] این ایده را مطرح می کنند که محیط های رنگی رایج به تنها یک نمی توانند معرف بافت های رنگی باشند، بنابراین اطلاعات رنگ تصویر در دو محیط رنگی RGB و Ohta را همزمان استخراج و ترکیب می نمایند. محیط رنگی Ohta که اولین بار توسط اوhta در [106] مطرح شد، تبدیل خطی از محیط RGB است که شامل سه کanal رنگی مجزا به صورت زیر می باشد.

$$I1 = (R+G+B)/3, \quad I2=R-B, \quad \text{and} \quad I3=(2G-R-B)2 \quad (15 - 2)$$

در معادله فوق، R، G و B هر کدام نشان دهنده شدت روشنایی پیکسل مورد نظر در کanal های رنگی مجزا است. در [105] محققان دو راهکار متفاوت برای دسته بندی بافت تصاویر

¹ Feature Reduction

² Binary Gabor Pattern (BGP)

³ Local Phase Quantization (LPQ)

⁴ Weber Law encodes (WLE)

⁵ Completed Local Binary Patterns (CLBP)

⁶ Statistical Binary Features (SBF)

رنگی ارائه می دهند. در راهکار اول هیستوگرام تصویر در هر کanal رنگی از دو محیط فوق الذکر استخراج و رده بندی شده و در نهایت میزان رخداد هر رده^۱ به عنوان یکی از ابعاد بردار ویژگی در نظر گرفته می شود . در راهکار دوم نیز الگوهای دودوبی محلی بر روی هر کanal رنگی از دو محیط فوق به صورت مجزا پیاده سازی شده و در نهایت بردارهای ویژگی استخراجی با یکدیگر ترکیب می گردد. محققان در [105] روش ارائه شده خود را بر روی پایگاه داده های Vistex و Outex آزمایش کردند. نتایج تجربی پیتیکان و همکارانش نشان می - دهد که استخراج هیستوگرام های کanal های رنگی در محیط Ohta بیشترین دقیق دسته بندی دارد که استخراج هیستوگرام های کanal های رنگی در محیط های Outex و RGB به صورت برابر بیشترین دقیق دسته بندی را بر روی تصاویر پایگاه Ohta فراهم می کند. همچنین استخراج هیستوگرام کanal های رنگی در محیط های Outex و RGB به صورت برابر بیشترین دقیق دسته بندی را بر روی پایگاه Vistex فراهم می کنند.

جدول 2-15. تحلیل مزیت ها و عیوب دسته بندی تصاویر رنگی بر اساس ترکیب هیستوگرام رنگ و الگوهای دودوبی محلی در محیط رنگی ترکیبی Ohta [105]

معایب	مزایا
<ul style="list-style-type: none"> • حساسیت به نویز به دلیل استفاده از هیستوگرام • عدم درنظر گرفتن ویژگی های محلی • عدم تضمین روش ارائه شده برای انواع پایگاه های داده 	<ul style="list-style-type: none"> • دقیق دسته بندی مناسب • معرفی توانایی انواع محیط های رنگی در معرفی بافت تصاویر • بار محاسباتی نه چندان بالا

2-5-8- ترکیب اطلاعات رنگ و بافت بر اساس تبدیل ویژگی مستقل از مقیاس و اطلاعات کanal های رنگی

همانطور که در زیر بخش 2-1-2 اشاره شد، یکی از عملگرهای موفق در آنالیز بافت تصویر، عملگر SIFT است. نسخه ابتدایی SIFT برای آنالیز تصاویر با سطوح خاکستری مطرح شد ولیکن در [140]، عبدالحکیم و فاراگ، با ترکیب ویژگی های استخراجی از SIFT و اطلاعات کanal های رنگی ، نسخه بهبود یافته آن را تحت عنوان CSIFT مطرح کردند. در [140]، نویسنده گان محیط رنگی جدیدی تحت عنوان مدل رنگی گوسین تعریف می نمایند که به صورت تبدیل خطی ای از تصویر در فضای رنگی RGB قابل نمایش است. نحوه جابجایی تصویر به فضای رنگی جدید در معادله زیر نشان داده شده است.

$$\begin{Bmatrix} E \\ E_\lambda \\ E_{\lambda\lambda} \end{Bmatrix} = \begin{Bmatrix} 0.06 & 0.63 & 0.27 \\ 0.3 & 0.04 & -0.35 \\ 0.34 & -0.6 & 0.17 \end{Bmatrix} \begin{Bmatrix} R \\ G \\ B \end{Bmatrix} \quad (16-2)$$

¹ Quantized Bin

در نهايٰت نيز، تصویر در محیط جدید با فیلتر گوسین با پارامترهای ورودی قابل تنظیم، فیلتر می‌شود. نويسندهان در [140]، ادعا می‌کنند که تصویر فیلتر شده در اين محیط نسبت به اطلاعات کanal های رنگ مستقل شده است. در [140]، از CSIFT برای حل مسئله تشخیص شی در قالب يك الگوريتم سه مرحله اي استفاده شده است که به شرح زير است:

- تشخیص نقاط ورودی^۱
- تولید عملگر (توضیح دهنده)^۲
- تنظیم ویژگی و تخمين ژست^۳ (جهت)

در [140] به صورت مستقيم از CSIFT برای حل مسئله دسته بندی بافت تصاویر رنگی استفاده نشده است ولیکن توانايی بالاي آن در استخراج ویژگی های بافتی و آنالیز بافت تصویر، باعث شده که مورد توجه محققان اين حوزه قرار گيرد . در اين فصل برخی از کاربردی ترین روش های آنالیز بافت و رنگ مطرح و مورد بررسی قرار گرفت . در برخی تحقیقات، نويسندهان تلاش کرده اند که از اطلاعات ترکیبی بافت و رنگ برای کاربردهای گوناگون پردازش تصویر همچون آنالیز تصاویر پزشکی شامل غدد، عروق خونی، بازرگانی بصری سطوح شامل چوب، پارچه و سنگ، بازیابی تصاویر، تشخیص دود و آتش، تشخیص حرکت، ردیابی اشیا استفاده کنند. به همین دلیل تحقیقات متعدد و متنوعی برای آنالیز و دسته بندی بافت تصاویر رنگی ارائه شده است که توضیح هر کدام مفصل بوده و در حوصله اين مقاله نمی گنجد. ولیکن به برخی از کارآمدترین اين روش ها در جدول زير اشاره شده است.

¹ Inserting Points Detection

² Descriptor Building

³ Feature Matching and Pose Estimation

جدول 2-16. بررسی اجمالی برخی از روش های ارائه شده جهت آنالیز و دسته بندی بافت تصاویر رنگی

ردیف	سال ارائه شده	روش ارائه شده	مرجع
1	2002	ترکیب هیستوگرام رنگ و الگوهای دودویی محلی در محیط رنگی ترکیبی Ohta	[105]
2	2005	مدل پنهان مارکوف ^۱ در فضای موجک	[120]
3	2006	ترکیب اطلاعات عملگر تبدیل ویژگی مستقل از مقیاس و اطلاعات کanal های رنگی (CSIFT)	[140]
4	2007	ترکیب اطلاعات عملگر تبدیل ویژگی مستقل از مقیاس با هیستوگرام های ماتریس های هم خدادای رنگی (SIFT-CCH)	[141]
5	2008	ویژگی های آماری از الگوهای دودویی محلی و ماتریس های هم خدادای	[101]
6	2008	ویژگی های هارالیک از نسخه ترکیبی الگوهای دودویی محلی و اطلاعات کanal های رنگی	[102]
7	2009	ترکیب هیستوگرام کanal های رنگی و نسخه اولیه الگوهای دودویی محلی	[103]
8	2009	ویژگی های آماری در زیر تصاویر موجک و شبکه عصبی انتشار عقبگرد	[104]
9	2011	الگوهای دودویی محلی اولیه در محیط ترکیبی خطی ORGB	[122]
10	2011	ترکیب ویژگی های استخراجی از الگوهای دودویی محلی در محیط های رنگی HSV, YCbCr, oRGB	[122]
11	2011	ترکیب ویژگی های استخراجی از الگوهای دودویی محلی اولیه در تصویر با سطوح خاکستری و تصاویر رنگی در کanal های مختلف رنگ	[122]
12	2012	تفاصل نیمه کامل مبتنی بر محاسبات ^۲ (PDE) برای تجزیه مدل تجربی ^۳ (EMD)	[135]
13	2012	الگوهای برداری رنگ محلی چند مقیاسی	[130]
14	2012	ترکیب عملگر تبدیل ویژگی های مستقل از مقیاس ^۴ (SIFT) استخراجی از پنجره هایی با سایز مختلف و عملگر آماری اسپکتروم چند فرکتالی ^۵	[131]
15	2013	انتخاب زیر مجموعه ای از ویژگی های استخراجی از فضاهای رنگی مختلف	[117]
16	2014	ماتریس های هم خدادای در سطح رنگ	[10]
17	2014	ترکیب پنج عملگر آنالیز محلی و کلی (الگوهای دودویی گابور، رده بندی فاز محلی، کد گشایی وبر، الگوهای دودویی محلی کامل، و ویژگی های دودویی آماری)	[14]
18	2015	ترکیب مدل پسرفت خودکار ^۶ و تجزیه مدل تجربی دو بعدی ^۷ (BEMD)	[132]
19	2016	الگوی مقاوم به نویز کامل با ساختار محلی ^۸ و با ساختار کلی	[133]
20	2016	نسخه بهبود یافته عملگر محلی وبر ^۹ (WLD)	[134]

¹ Hidden Markov Model

² Partial Differential Equation-based

³ Empirical Mode Decomposition

⁴ Scale-Invariant Feature Transform (SIFT)

⁵ Multi Fractal Spectrum

⁶ Autoregressive Model

⁷ Bidimensional Empirical Mode Decomposition (BEMD)

⁸ Completed Noise-invariant Local-structure Patterns (CNLP)

⁹ Weber Local Descriptor (WLD)

2.6. Local binary patterns and it's improved versions

همانطور که پیش تر در بخش 2-5 مطرح شد، الگوهای دودویی محلی یکی از عملگرهای بسیار قوی برای آنالیز بافت تصویر می باشد. در این مقاله در جهت استخراج ویژگی های بافتی تصاویر، از این عملگر الهام گرفته شده است. همانطور که در فصل آتی به تفصیل شرح داده خواهد شد، نسخه بهبود یافته ای از این عملگر با تمرکز بر حل محدودیت های آن از جمله حساسیت نسبت به نویز ضربه ای و عدم تفکیک الگوهای معنی دار و بی معنی ارائه خواهد شد. بنابراین در این زیر بخش نسخه ابتدایی این عملگر و برخی از نسخه های بهبود یافته آن مرور خواهد شد.

2.6.1. Basic Version of Local Binary Patterns

نسخه اولیه الگوهای دودویی محلی برای اولین بار توسط اوجالا و همکارانش در [107]، جهت آنالیز و طبقه بندی بافت تصویر ارائه شد. الگوهای دودویی محلی در واقع مجموعه عملگرهایی غیرپارامتریک هستند که تباين محلی^۱ و ساختار فضایی محلی^۲ تصویر را آنالیز می نمایند. عملکرد این عملگر بدین صورت است که در ابتدا برای هر کدام از پیکسل های تصویر، یک همسایگی به مرکزیت پیکسل و شعاع های مختلف، در نظر گرفته شده و سپس مقدار شدت روشنایی هر کدام از همسایگان با پیکسل مرکزی مقایسه می گردد و در نهایت میزان الگوی دودویی محلی پیکسل مورد نظر در قالب یک الگوی دودویی به صورتی که در معادله زیر نشان داده شده است، سنجیده می شود.

$$LBP_{P,R} = \sum_{k=0}^{P-1} S(g_k - g_c) 2^k \rightarrow \text{به صورتی که } S(x) = \begin{cases} 1 & x \geq 0 \\ 0 & x < 0 \end{cases} \quad (17-2)$$

در معادله (17-2) به ترتیب، P تعداد نقاط همسایه و g_k شدت روشنایی نقاط همسایگی و g_c شدت روشنایی نقطه مرکزی است. به طور معمول برای آنکه عملگر فوق، نسبت به چرخش حساس نباشد، همسایگی به صورت دایره ای در نظر گرفته می شود. چند نمونه از همسایگی دایروی با شعاع (R) در شکل (2-5) نشان داده شده است. خروجی عملگر الگوی دودویی محلی، عددی دودویی با P بیت اطلاعات است. همانطور که در شکل (2-3)، نشان داده شده، نحوه اندیس گذاری پیکسل های همسایه به شدت بر روی عدد مبنای ده الگوی دودویی بدست آمده، تاثیر گذار است و می تواند منجر به تغییر مقدار الگوی دودویی محلی گردد. همانطور که در شکل (2-7) مشاهده می شود، پس از مقایسه شدت روشنایی هر پیکسل همسایه با پیکسل

¹ Local Contrast

² Local Spatial Structure

مرکزی، الگویی دودویی به صورتی که در شکل (ب) نشان داده شده است، استخراج می‌گردد. برای تبدیل الگوی دودویی استخراجی به عددی در مبنای ۵، می‌بایست از بخش اول فرمول ۲-۱۷ استفاده گردد. ولیکن در این فرمول محل آغاز اندیس گذاری مشخص نشده است، بنابراین به هشت طریق مختلف می‌توان این عمل را انجام داد که دو نمونه آن در شکل های (ج) و (د) نشان داده شده است. در نهایت همانطور که مشاهده می‌شود، عدد محاسبه شده در مبنای ۵ به شدت به نحوه اندیس‌گذاری وابسته است.

49	217	203
172		166
94	85	47

(الف)

0	1	1
1		1
0	0	0

(ب)

1	2	4
128		8
64	32	16

(ج)

4	8	16
2		32
1	128	64

(د)

$$LBP_{(ج)} = 2+4+8+128= 142$$

$$LBP_{(د)} = 2+8+16+32= 58$$

شکل ۲-۷. نحوه اندیس گذاری های گوناگون در الگوی دودویی محلی

(الف) همسایگی مربعی 3×3 (ب) مقایسه پیکسل مرکزی با همسایه ها (ج) یکی از نحوه های اندیس گذاری و محاسبه LBP (د) یکی از نحوه های اندیس گذاری و محاسبه LBP

برای حل این معضل، اوجالا و همکارانش در [66] پیشنهاد دادند که با چرخش عدد دودویی بدست آمده و انتخاب کمینه مقادیر مم کن، می‌توان مقدار یکتایی را به هر کدام از الگوهای محلی اختصاص داد. این موضوع در معادله (2 - 18) نشان داده شده است.

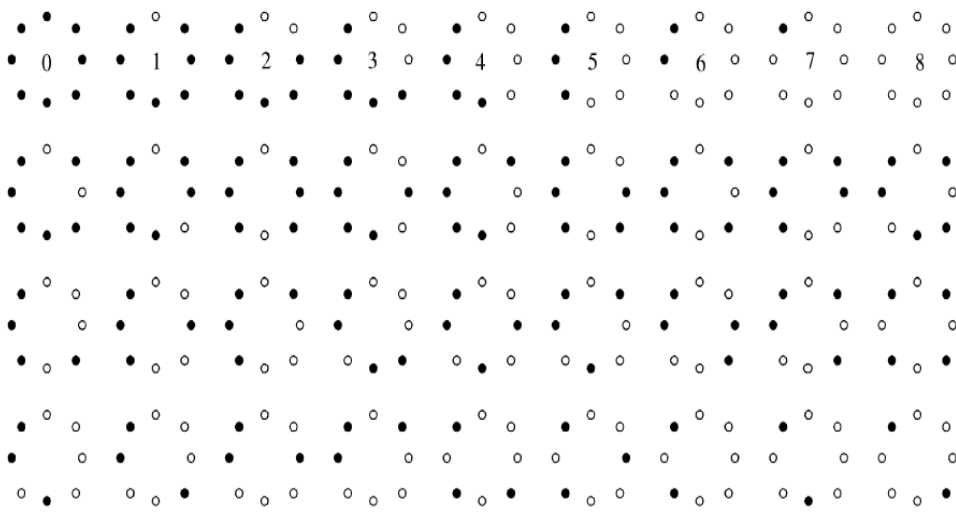
$$LBP_{P,R}^{ri} = \min\{ROR\{LBP_{P,R}, \alpha\} \mid \alpha = 0,1,\dots,p-1\} \quad (18-2)$$

در معادله (2-18)، عدم حساسیت پراتور نسبت به چرخش با نماد "ri" نشان داده شده است. همچنین "ROR" نشان دهنده چرخش به سمت راست^۱ است که " α " بار تکرار شده و حداقل اعداد بدست آمده به ازای " α " های بین صفر تا $p-1$ به عنوان الگوی دودویی محلی در نظر گرفته می‌شود. یکی از سوالات اصلی که پس از مطالعه نسخه اولیه الگوهای دودویی محلی، به ذهن متصور می‌شود، چگونگی آنالیز تصویر توسط الگوی دودویی محلی است . به عبارت دیگر چرا الگوهای دودویی محلی می‌توانند معرف خوبی از بافت تصویر باشند و جهت آنالیز بافت استفاده شوند.

همانطور که در معادله (2 - 17) دیده شد، همسایگانی که شدت روشنایی آنها بزرگتر و یا مساوی با پیکسل مرکزی باشند، برچسب "یک" و همسایگانی که شدت روشنایی ایشان کمتر

¹ Rotate Right

از شدت روشنایی مرکز باشند، برچسب "صفر" خواهند گرفت. بنابراین برای هر همسایگی با شعاع R و تعداد P همسایه، حالات بسیار گوناگونی از الگوهای دودویی امکان رخ دادن دارد. به طور مثال استفاده از عملگر الگوی دودویی با شعاع 1 و 8 همسایه، می‌تواند منجر به 36 حالت گوناگون از الگوهای دودویی شود. تمامی این حالات در شکل زیر نشان داده است. این شکل از منبع [66] جهت بررسی نحوه کارایی الگوهای دودویی محلی استخراج و آورده شده است.



شکل 2-8. 36 الگوی دودویی ممکن با استفاده از LBP_{8,1}. نقاط مشکی نشاندهنده صفر و نقاط سفید معرف یک هستند [66]

با توجه به شکل (2-8) می‌توان به این نتیجه رسید که هر کدام از حالات فوق معرف و پژگی-های خاصی از تصویر و نحوه ارتباط بین پیسکل‌ها با همسایگانشان هستند. به طور مثال الگوی نشان داده شده با شماره 4 معرف حالت لبه در تصویر است. در مثالی دیگر الگوی هشت معرف وجود خال‌های تاریک و دشت‌ها (بخشی محلی با شدت روشنایی تقریباً ثابت) در تصویر است. الگوی شماره صفر نیز قدرت تشخیص خال‌های روشن را دارد. فرم‌های شماره سه و پنج نیز نقاط گوشه را آشکار می‌کنند. فرم شماره دو و شش نقاط منتهای خطی را تشخیص می‌دهند. الگوی شماره یک نیز خال ضعیف را تشخیص می‌دهد. با این تفاسیر، اکثر حالاتی که توسط عملگر الگوی دودویی محلی تشخیص داده شده و از حالات دیگر تمیز داده می‌شود، معرف ارتباط خاصی مابین پیکسل مرکز و تصویر است. بنابراین مشخص است که عملگر الگوی دودویی محلی، قدرت تشخیص انواع الگوهای محلی در تصویر را دارد و در نهایت با دسته بندی آنها عملاً بافت تصویر را آنالیز می‌کند.

۲-۶-۲- الگوهای دودویی محلی بهبود یافته^۱

نتایج آزمایشات پیتیکینن^۲ و همکارانش در [65]، نشان داد که الگوی دودویی محلی اولیه به صورتی که در بخش قبل توضیح داده شد، علی الرغم توانایی مناسب برای آنالیز بافت تصویر، بار محاسباتی بالایی داشته و قدرت جداسازی^۳ مناسبی را برای انواع تصاویر بافتی فراهم نمی آورد. بنابراین پس از مدتی، شکل بهبود یافته‌ی عملگر الگوی دودویی محلی توسط اوجالا^۴ و پیتیکینن در [66] ارائه شد. در الگوی دودویی محلی بهبود یافته، معیاری به نام میزان یکنواختی^۵ (همگنی) طبق معادله (2 - 19) تعریف می‌شود.

$$U(LBP_{P,R}) = \left| s(g_{p-1} - g_c) - s(g_0 - g_c) \right| + \sum_{k=1}^{p-1} \left| s(g_k - g_c) - s(g_{k-1} - g_c) \right| \quad (19 - 2)$$

همانگونه که در معادله فوق دیده می‌شود، میزان یکنواختی نشان دهنده تعداد جهش‌ها (جابجایی از صفر به یک و بالعکس) در شدت روشنایی نقاط همسایگی پشت سر هم است. به طور مثال در الگوی "00011011" میزان یکنواختی برابر با 4 و در "00000001" میزان یکنواختی برابر با 2 است. سپس حد آستانه یکنواختی (U_T) توسط کاربر تعیین می‌گردد و الگوهایی که میزان یکنواختی آنها کمتر از حد آستانه یکنواختی باشد، الگوهای یکنواخت و الگوهایی که میزان یکنواختی آنها بیش از U_T باشد، به عنوان الگوهای غیر یکنواخت تعریف می‌شوند. درنهایت نیز با توجه به این تعریف، میزان الگوی دودویی محلی بهبود یافته طبق معادله (2 - 20) محاسبه می‌شود.

$$MLBP_{P,R}^{riut} = \begin{cases} \sum_{k=0}^{P-1} s(g_k - g_c) & \text{if } U(LBP_{P,R}) \leq U_T \\ P + 1 & \text{در غیر این صورت} \end{cases} \quad (20 - 2)$$

همانگونه که از معادله فوق برمی‌آید، در شکل بهبود یافته‌ی الگوی دودویی محلی، به همسایگی‌های یکنواخت، برچسب‌هایی^۶ از صفر تا P و به همسایگی‌های غیریکنواخت برچسب ۱ اختصاص داده می‌شود. با توجه به اینکه در الگوی دودویی محلی بهبود یافته به تمام همسایگی‌های غیریکنواخت برچسب یکسان الصاق می‌شود، بنابراین برچسب‌های الصاق شده به الگوهای یکنواخت موجود در تصویر باید اکثر الگوهای موجود در تصویر را پوشش دهد و الگوهای غیر یکنواخت تنها بخش ناچیزی از الگوها را شامل شود. نتایج عملی تاجری پور و همکارانش در [15، 16 و 108] نشان داد که در اکثر کاربردهای پردازش تصویر (مانند

¹ Modified Local Binary Patterns (MLBP)

² Pietikeinnen

³ Discrimination

⁴ Ojala

⁵ Uniformity Measure

⁶ Labels

سیستم‌های بازرسی بصری، بازیابی تصویر، تشخیص عیوب سطحی و ...) چنانچه حد آستانه میزان یکنواختی (T_u) برابر با $P/4$ در نظر گرفته شود، درصد کمی از الگوها (کمتر از یک درصد) دارای برچسب غیریکنواخت خواهد بود و قدرت تشخیص بالاتر برود . در این مقاله همچون برخی از مقالات، این نسخه از الگوهای دودویی محلی که از معیار یکنواختی برای برچسب گذاری پیکسل‌های تصویر استفاده می‌کند، را با نماد $MLBP_{P,R}$ نشان خواهیم داد. با توجه به محدودیت‌ها و نقاط ضعفی که اشاره شد، تاکنون نسخه‌های بهبود یافته گوناگونی از الگوهای دودویی محلی در حوزه‌های مختلف مطرح شده است که غالباً تلاش کرده‌اند یکی از محدودیت‌ها را حل نمایند یا کیفیت این عملگر را در حوزه‌های کاربردی مختلف افزایش دهند. ذکر تمامی این روش‌ها همراه با جزئیات ، امری به شدت زمان بر می‌باشد که گاهای در حوزه تخصصی این مقاله (دسته بندی تصاویر بافتی رنگی) نیز نمی‌گنجد. ولیکن ما در همین راستا تاکنون تحقیقات گوناگونی را انجام داده‌ایم که در زیر به برخی از آنها اشاره خواهد شد . شایان ذکر است که باز محاسباتی $MLBP$ حتی در همین شرایط نسبت به بسیاری از عملگرهای آنالیز بافت تصویر کمتر است.

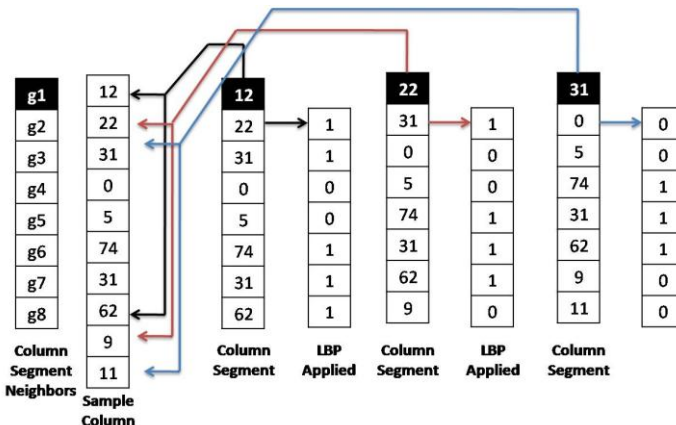
2.6.3. One dimensional local binary pattern

همانگونه که از توضیحات فوق بر می‌آید، همسایگی در عملگر بهبود یافته‌ی الگوی دودویی محلی به صورت دو بعدی انتخاب می‌گردد، بنابراین این نسخه از الگوهای دودویی محلی را الگوی دودویی محلی دو بعدی نیز می‌نامند. با توجه به همین موضوع (انتخاب همسایگی دو بعدی)، باز محاسباتی $MLBP$ از درجه دوم است که پیچیدگی محاسباتی سیستم را افزایش می‌دهد. در الگوی دودویی محلی دو بعدی، انتخاب همسایگی به صورت دایروی، باعث عدم حساسیت اپراتور نسبت به چرخش تصویر می‌شود. ولیکن در برخی از کاربردهای پردازش تصویر همچون سیستم‌های بازرسی بصری [16]، چرخش تصویر اهمیت بالایی ندارد، بنابراین نیازی به انتخاب همسایگی دایروی نیست. از طرفی محاسبات درون‌یابی مورد نیاز در همسایگی‌های دایره‌ای باز محاسباتی بالایی را به سیستم وارد می‌کند که این امر می‌تواند توان برخط¹ بودن سیستم را به شدت پایین بیاورد در حالی که با توجه به توضیحات پیشین، یکی از اهداف این مقاله طراحی سیستمی برخط جهت کاربرد عینی در صنایع است . بنابراین در این بخش نسخه جدیدی از الگوی دودویی محلی معرفی شده است که در آن همسایگی به صورت قطعه² افقی(عمودی) در نظر گرفته می‌شود. با توجه به انتخاب همسایگی به صورت قطعات افقی (عمودی)، این نسخه الگوی دودویی محلی عملگری از درجه اول خواهد بود . بنابراین از

¹ Online

² Row(Column) Segment

این به بعد، این نسخه از الگو های دودویی محلی را الگوی یک بعدی می نامیم . در الگوی دودویی محلی یک بعدی، سطح خاکستری اولین پیکسل از تصویر به ترتیب با سطوح خاکستری دیگر پیکسل های موجود در آن قطعه مقایسه می شود. مثالی از اعمال عملگر الگوی دودویی محلی یک بعدی بر روی یک تکه عمودی از تصویر در شکل زیر نشان داده است



شکل 2-9. اعمال عملگر الگوی دودویی محلی بر روی تکه ای عمودی از تصویر با قطعه ای عمودی به طول 8 [16]

در این روش میزان یکنواختی برابر با تعداد جهش ها (جابجایی از صفر به یک و بالعکس) در شدت روشنایی نقاط همسایه در قطعه افقی(عمودی) تعریف می شود. معادله (21-2)، این مطلب را نشان می دهد.

$$U(LBP_L) = \left| s(g_L - g_1) - s(g_2 - g_1) \right| + \sum_{i=2}^{L-1} \left| s(g_i - g_1) - s(g_{i+1} - g_1) \right| \quad (21-2)$$

در معادله فوق، L طول قطعه افقی (عمودی) را بر حسب پیکسل نشان می دهد و g_1 نشان دهنده سطح خاکستری اولین پیکسل در آن قطعه است . همچنین به دلیل تغییر شکل همسایگی، نماد $LBP_{P,R}$ به فرم LBP_L تغییر می یابد. شایان ذکر است که اگر طول L بیش از اندازه کوچک در نظر گرفته شود، الگوهای استخراجی نمی توانند معرف رخدادهای خاص و ویژگی های خاص محلی در تصویر باشند و اگر طول L بیش از اندازه بزرگ در نظر گرفته شود، علاوه بر افزایش بار محاسباتی، ارتباط معنی داری مابین پیکسل های همسایه بسیار دور و پیکسل آغازین وجود نخواهد داشت و ویژگی های محلی تصویر از دست می رود. در این نسخه نیز الگوهایی که میزان یکنواختی آنها کمتر از حداستانه ای میزان یکنواختی (L) باشد، الگوهای یکنواخت و الگوهایی که میزان یکنواختی آنها بیش از L باشد، به عنوان الگوی غیر یکنواخت تعریف می شوند . بنابراین با توجه به این تعریف، میزان الگوی دودویی محلی یک بعدی برای قطعات افقی (عمودی) طبق معادله زیر محاسبه می شود.

$$LBP_L^{U_T} = \begin{cases} \sum_{i=1}^L S(g_i - g_1) & \text{if } U(LBP_L) \leq U_T \\ L & \text{شرایط دیگر} \end{cases} \quad (22-2)$$

همانگونه که از معادله فوق، برمی آید، در الگوی دودویی محلی یک بعدی، به قطعات افقی (عمودی) یکنواخت، برچسب هایی از صفر تا $L-1$ و به قطعات افقی (عمودی) غیریکنواخت برچسب L اختصاص داده می شود. برچسب های الصاق شده به الگوهای یکنواخت موجود در تصویر باید اکثر الگوهای موجود در تصویر را پوشش دهد و الگوهای غیر یکنواخت تنها بخش ناچیزی از الگوها را شامل شود. الگوهای دودویی محلی دو بعدی به دلیل در نظر گرفتن همسایگی دو بعدی، عملگری از درجه دوم است ولیکن عملگر الگوی دودویی محلی یک بعدی به دلیل در نظر گرفتن همسایگی به صورت قطعات افقی و عمودی، عملگری از درجه اول است. به همین دلیل پیچیدگی محاسباتی آن نسبت به الگوهای دودویی محلی دو بعدی بسیار کمتر است. اثبات این مسئله در بخش بعدی به تفصیل بررسی شده است.

2-6-4 - بازیابی تصویر¹ به کمک الگوهای دودویی محلی بهبود یافته

همانطور که توضیح داده شد، محققین تلاش کرده اند که از الگوهای دودویی محلی در انواع مسائل حوزه پردازش تصویر استفاده کنند تا بیشترین دقیقت بدست آید. محققین در [15] از الگوهای دودویی محلی برای بازیابی تصویر استفاده کرده است. بازیابی تصویر به معنای استخراج نزدیک ترین نمونه از درون پایگاه داده بزرگی از تصاویر به تصویر پرس وجو² است که توسط کاربر ارائه شده است. همانطور که از این تعریف بر می آید، اصلی ترین مرحله در مبحث بازیابی تصویر، ارائه روشی برای سنجش میزان شباهت تصاویر به یکدیگر است. همانطور که بررسی شد الگوهای دودویی محلی بهبود یافته یکی از روش‌های معتبر در حوزه آنالیز بافت تصویر است. جهت شناساندن بافت تصویر به سیستم های کامپیوترا و مقایسه تصاویر با یکدیگر، نتایج آنالیز بافت تصویر توسط عملگر فوق می باشد به صورت برداری عددی تبدیل گردد. در [15] روشی مطمئن برای تبدیل نتایج آنالیزی الگوهای دودویی محلی به بردار ویژگی عددی ارائه شده است. پس از اعمال عملگر $MLBP_{P,R}$ بر روی تصویر، به هر همسایگی محلی یکنواخت برچسب هایی از صفر تا P و به الگوهای غیریکنواخت برچسب $P+1$ اختصاص داده می شود. بنابراین در مرحله استخراج بردار ویژگی می توان برای هر تصویر ورودی یک

¹ Image Retrieval

² Query

بردار $P+2$ بعدی استخراج کرد. برای استخراج بردار ویژگی، پس از اعمال عملگر بر روی تصویر و اختصاص برچسب ها به همسایگی ها، احتمال رخداد هر کدام از برچسب ها به عنوان یکی از ابعاد بردار ویژگی محاسبه می گردد. احتمال رخداد هر برچسب به صورت نسبت تعداد پیکسل -ها (همسایگی ها) با آن برچسب به تعداد کل پیکسل ها (همسایگی ها) تعریف می شود. این مطلب در معادله زیر نشان داده شده است.

$$f_i = \frac{N_{f_i}}{N_{total}} \quad 0 \leq i \leq P + 1 \quad (23-2)$$

در معادله فوق، f_i احتمال بروخته بودن برچسب "i" و N_{f_i} تعداد کل پیکسل ها با برچسب "i" است. N_{total} ، نیز تعداد کل پیکسل های تصویر است که با ضرب اندازه سطر ها در ستون های تصویر بدست می آید. در معادله زیر بردار ویژگی نهایی استخراج شده برای تصویر ورودی نشان داده شده است.

$$\mathbf{F}_x = \langle f_0, f_1, \dots, f_{P+1} \rangle \quad (24-2)$$

بردار ویژگی فوق الذکر معرف عددی بسیار خوبی از بافت تصویر مورد نظر است. در مرحله یافتن شبیه ترین تصاویر، می بایست فاصله بردار ویژگی تصویر پرس و جو با تصویر درون پایگاه سنجیده شده و در نهایت تصاویری از درون پایگاه که بیشترین شباهت (کم ترین فاصله) را با تصویر پرس و جو دارند انتخاب شوند.

2-6-5- الگوهای دودویی محلی بهبود یافته برای کاهش نویز

ما بر روی سازگار کردن خروجی الگوهای دودویی محلی با مسئله کاهش نویز تصاویر بافتی تحقیق کرده ایم. همانطور که پیش تر توضیح داده شد، در تصاویر بافتی، یک الگو (زیر بافت) خاص در تمام طول تصویر در حال تکرار شدن است . ما اعتقاد داریم که در تصاویر بافتی چنانچه قسمت هایی از تصویر دچار نویز گردد، با احتمال زیاد، بخش های مشابهی در درون همان تصویر می توان پیدا کرد که به بخش های نویزی شبیه بوده و دچار نویز نشده است . در راستای بررسی این موضوع، پیشنهاد می گردد که تصویر به پنجره هایی با ابعاد مساوی و بدون همپوشانی تقسیم گردد. سپس شبیه ترین پنجره ها به پنجره نویزی پیدا شود . در همین راستا مجدداً عملگر الگوهای دودویی محلی بر روی تمام پنجره ها اعمال شده و برای هر پنجره یک بردار ویژگی عددی طبق معادله (24-2) استخراج می گردد. در مرحله بعد می بایست فاصله و بین بردارهای ویژگی استخراجی سنجیده شود . در این تحقیق انواع معیارهای فاصله و

معیارهای شباخت / عدم شباخت مورد آزمایش قرار گرفت . نتایج تجربی نشان داد که نسبت درستنما¹ی لگاریتمی¹ بالاترین کارایی² را فراهم آورد. نسبت درستنما¹ی لگاریتمی معیار عدم شباخت است که ه مواده مثبت و حداقل مقدار آن برابر صفر خواهد بود و کمینه شدن آن نشان-دهنده میزان شباخت با یک کلاس خاص می باشد. بنابراین کمترین مقدار محاسبه شده برای پنجره‌ها، به عنوان شبیه ترین پنجره و بزرگترین مقدار آن به عنوان حد آستانه شباخت بافت ها در بین پنجره ها در نظر گرفته می شود. نحوه محاسبه نسبت درستنما¹ی لگاریتمی دو بردار ویژگی در معادله زیر نشان داده شده است.

$$\mathbf{L} = (F_1, F_2) = \sum_{i=1}^{P+2} F_{1i} \log\left(\frac{F_{1i}}{F_{2i}}\right) \quad (25-2)$$

در معادلات فوق، F_1 و F_2 به ترتیب بردارهای ویژگی استخراجی برای پنجره های 1 و 2 از تصویر است. همچنین "i" نشان دهنده بعد "i" ام از بردار ویژگی بوده و P نشان دهنده تعداد همسایگی در عملگر الگوی دودیی محلی استفاده شده می باشد.

To recieve more related works please contact us:

The Author Personal Website:
<http://www.shfekri.ir>

The Author Google Scholar Page:
<https://scholar.google.com/citations?user=9RkgDQIAAAJ&hl=en>

The Author Personal Contact Email:
fekriershad@pco.iaun.ac.ir

¹ Log Likelihood Ratio

² Performance

References

- [1] Tuceryan M., Jain A.K., "The handbook of pattern recognition and computer vision (2nd edition)", *World Scientific Publishing Company*, 1998.
- [2] Pietikäinen M., Hadid A., Zhao G., Ahonen T., "Computer vision using local binary patterns", *Springer-Verlag London Publishing*, 2011.
- [3] Shapiro L.G., Stockman G.C., "Computer vision", *Prentice-Hall publishing*, 2001
- [4] D. Zhou, "Texture Analysis and Synthesis using a Generic Markov-Gibbs Image Model", *Ph.D. Thesis in Artificial Intelligence, University of Auckland, Auckland, New Zealand*, 2006.
- [5] Brodatz P., "A photographic album for artists and designers, by phil brodatz", *Dover Publications*, 1996
- [6] Mirmehdi M., Xie X., Suri J., "Handbook of texture analysis", *Imperial College Press*, 2008.
- [7] Ikeuchi K., "Computer vision – A reference guide", *Springer US Publisher*, 2014.
- [8] Guo Y., "Image and video analysis by local descriptors and deformable image registration", *Ph.D. Thesis in Artificial Intelligence, University of Oulu*, 2013.
- [9] Masotti M., Campanini R., "Texture classification using invariant ranklet features", *Pattern Recognition Letters*, Vol. 29, pp. 1980-1986, 2008.
- [10] Bencic M., Hudec R., Kamencay P., Zachariasova M., Matuska S., "An advanced approach to extraction of color texture features based on GLCM", *International Journal of Advanced Robotic Systems*, Vol. 11, No. 1, pp. 1-8, 2014.
- [11] Van-de-Sande K. A., Gevers T., Snoek C. M., "Evaluating color descriptors for object and scene recognition", *IEEE Transaction on Pattern Analysis and Machine Intelligence*, Vol. 32, No.9, pp. 1582-1596, 2010.
- [12] Khan F. S., Anwer R. M., Van-de-Weijer J., Bagdanov A., Lopez A., Felsberg M., "Coloring action recognition in still images", *International Journal of Computer Vision*, Vol. 105, pp. 205-221, 2013.

- [13] Maenpaa T., Pietikainen M., "Classification with color and texture jointly or separately", *Pattern Recognition*, Vol. 37, No. 8, pp. 1629-1640, 2004.
- [14] Khan F.S., Anwer R.M., Van-der-Weijer J., Felsberg M., Laaksonen J., "Compact color-texture description for texture classification", *Pattern Recognition Letters*, Vol. 51, pp. 16-22, 2014.
- [15] Tajeripour F., Saberi M., Fekriershad SH., "Developing a novel approach for content based image retrieval using modified local binary patterns and morphological transform", *International Arab Journal of Information Technology*, Vol. 12, No. 6, 2015.
- [16] Tajeripour F., Fekriershad SH., "Developing a novel approach for stone porosity detection using modified local binary patterns and single scale retinex", *Arabian Journal for Science and Engineering*, Vol. 39, No. 2, pp. 875-889, 2014.
- [17] Maenpaa T., Viertola J., Pietikainen M., "Optimizing color and texture features for real time visual inspection", *Pattern Analysis and Applications*, Vol. 6, No. 3, pp. 169-175, 2003.
- [18] Ahonen T., Hadid A., Pietikainen M., "Face description with local binary patterns: application to face recognition", *IEEE Transaction on Pattern Analysis and Machine Intelligence*, Vol. 28, No. 12, pp. 2037-2041, 2006.
- [19] Takala V., Pietikainen M., "Multi object tracking using color, texture and motion", In Proc. of IEEE Conference On Computer Vision and Pattern Recognition, Minnesota, USA, pp. 1-7, June 2007.
- [20] Xie X., "A review of recent advances in surface defect detection using texture analysis techniques", *Electronic Letters on Computer Vision and Image Analysis*, Vol. 7, No. 3, pp. 1-22, 2008.
- [21] Tajeripour F., Rezaei M., Saberi M., Fekriershad, SH., "Texture classification approach based on combination of random threshold vector technique and co-occurrence matrixes", In Proc. of IEEE International Conference on Computer Science and Network Technology(ICCSNT), Harbin, China, Vol. 4, pp. 2303-2306, 2011.
- [22] Kim C., Koivo A., "Hierarchical classification of surface defects on dusty wood boards", *Pattern Recognition Letters*, Vol. 15, No. 7, pp. 713-721, 1994.
- [23] Xie J., Zhang L., You J., Shiu S., "Effective texture classification by texton encoding induced statistical features", *Pattern Recognition*, Vol. 48, No. 2, pp. 447-457, 2015
- [24] Malik F., Baharudin B., "Analysis of distance metrics in content-based image retrieval using statistical quantized histogram texture features in the DCT domain", *Journal of King Saud University - Computer and Information Sciences*, Vol. 25, No. 2, pp. 207-218, 2013.

- [25] Conners R., McMillan C., Lin K., Vasquez-Espinosa R., "Identifying and locating surface defects in wood: part of an automated timber processing system", *IEEE Transactions on Pattern Analysis and Machine Intelligence*, Vol. 5, pp. 573–583, 1983.
- [26] Latif-Amet, L., Ertuzun A., Ercil A., "An efficient method for texture defect detection: sub band domain co-occurrence matrices", *Image and Vision Computing*, Vol. 18, No. 6-7, pp. 543–553, 2000.
- [27] Vujasinovic T., Pribic J., Kanjer K., Milosevic N., Tomasevic Z., Milovanovic Z., Nikolic-Vukosavljevic D., Radulovic M., "Gray-Level co-occurrence matrix texture analysis of breast tumor images in prognosis of distant metastasis risk", *Microscopy and Microanalysis*, Vol. 21, No. 3, pp.646-654, 2015.
- [28] Liao S., Zhu X., Lei Z., Zhang L., Li S.Z., "Learning multi-scale block local binary patterns for face recognition", *In Proc. of IAPR/IEEE International Conference on Biometrics*, Seoul, Korea, pp. 828-837, August 2007
- [29] Huang Y., Chan K., "Texture decomposition by harmonics extraction from higher order statistics", *IEEE Transactions on Image Processing*, Vol. 13, No. 1, pp. 1–14, 2004.
- [30] Bu H.G., Huang X. B., Wang J., Chen X., "Detection of fabric defects by auto-regressive spectral analysis and support vector data description", *Textile Research Journal*, Vol. 80, No. 7, pp. 579-589, May 2010.
- [31] Raju U. N., Eswara-Reddy B., Vijaya-Kumar V., Sujatha B., "Texture classification based on extraction of skeleton primitives using wavelets", *Information Technology Journal*, Vol. 7, pp. 883-889, 2008.
- [32] Kumar V., Srikrishna A., "An improved iterative morphological decomposition approach for image skeletonization", *Journal of Graphics Vision and Image Processing of ICGST*, Vol. 8, No. 1, pp.47-54, 2008.
- [33] Mak K. L., Penga P., Yiua K. F., "Fabric defect detection using morphological filters", *Image and Vision Computing*, Vol. 27, pp. 1585-1592, 2009.
- [34] Norliza M. N., Than J.C.M., Rijal O. M., Kassim R. M., Yunus A., Zeki A.A., Anzidei M., Saba L., Suri J. S., "Automatic lung segmentation using control feedback system: morphology and texture paradigm", *Journal of Medical Systems*, Vol. 39, No. 22, 2015.
- [35] Qiang J., Engel J., Craine E., "Texture analysis for classification of cervix lesions", *IEEE Transactions on Medical Imaging*, Vol. 19, No. 11, pp. 1144-1149, 2000.

- [36] Song K., Kittler J., Petrou M., "defect detection in random colour textures", *Image and Vision Computing*, Vol. 14, pp. 667–683, 1996.
- [37] Dollar P., Zitnick C. L., "Fast edge detection using structured forests", *IEEE Transactions on Pattern Analysis and Machine Intelligence*, Vol. 37, No. 8, pp. 1558-1570, 2015.
- [38] Manza R.R., Gaikwad B.P., Manza G.R., "Use of edge detection operations for agriculture video scene feature extraction from mango fruits", *Advances in Computational Research*, Vol. 4, No. 1, pp.-50-53, 2012.
- [39] Basavaraj S. A., Malvade N. N., Hanamaratti N. G., "An edge texture features based methodology for bulk paddy variety recognition", *Agricultural Engineering International: CIGR Journal*, Vol. 18, No. 1, pp. 399-410, 2016.
- [40] Gilboa G., "A total variation spectral framework for scale and texture analysis", *SIAM Journal on Imaging Science*, Vol. 7, No. 4, pp. 1937-1961, 2014.
- [41] Kumar A., Pang G., "Defect detection in textured materials using optimized filters", *IEEE Transactions on System, Man, and Cybernetics—Part B: Cybernetics*, Vol. 32, No. 5, pp. 553–570, 2002.
- [42] Chan C., Pang G., "Fabric defect detection by fourier analysis", *IEEE Transactions on Industry Applications*, Vol. 36, No. 5, pp. 1267–1276, 2000.
- [43] Tsai D., Huang T., "Automated surface inspection for statistical textures", *Image and Vision Computing*, Vol. 21, pp. 307–323, 2003.
- [44] Helmy A.K., El-Taweel G. S., "Image segmentation scheme based on SOM-PCNN in frequency domain", *Applied Soft Computing Journal*, Vol. 40, pp. 405-415, 2016.
- [45] Bennamoun M., Bodnarova A., "Digital image processing techniques for automatic textile quality Control", *Systems Analysis Modeling Simulation*, Vol. 43, No. 11, pp. 1581–1614, 2003.
- [46] Bodnarova A., Bennamoun M., Latham S., "Optimal gabor filters for textile flaw detection", *Pattern Recognition*, Vol. 35, pp. 2973–2991, 2002.
- [47] Klonus S., Tomowski D., Ehlers M., Reinartz P., Michel U., "Combined edge segment texture analysis for the detection of damaged buildings in crisis areas", *IEEE Journal of Selected Topics in Applied Earth Observations and Remote Sensing*, Vol. 5, No. 4, pp. 1118-1128, 2012.

- [48] Choy S. K., Tong C. S., "Supervised texture classification using characteristic generalized gaussian density", *Journal of Mathematical Imaging and Vision*, Vol. 29, pp. 35-47, 2007.
- [49] Hui D., Xiaogang J., Willis, P. J., "Two-level joint local laplacian texture filtering", *The Visual Computer*, Vol. , pp. 1-12, 2015
- [50] Hvarinen A., Hurri J., Hoyer P.O., "Natural image statistics- a probabilistic approach to early computational vision", *Springer-Verlag London Publishing*, Chapter 2, pp.25-49, 2009.
- [51] Virmani J., Kumar V., Kalra N., Khandelwal N., "SVM-based characterization of liver ultrasound images using wavelet packet texture descriptors", *Journal of Digital Imaging*, Vol. 26, No. 3, pp. 530-543, 2013.
- [52] Pang W., Choi K., Qin J., "Fast gabor texture feature extraction with separable filters using GPU", *Journal of Real Time Image Processing*, Vol. 12, No. 1, pp. 5-13, 2016.
- [53] Simoncelli E., Farid H., "Steerable wedge filters for local orientation analysis", *IEEE Transactions on Image Processing*, Vol. 5, No. 9, pp. 1-10, 1996.
- [54] Bua H.G., Wang J., Huang X., "Fabric defect detection based on multiple fractal features and support vector data description", *Engineering Applications of Artificial Intelligence*, Vol. 22, No. 2, pp. 224-235, 2009.
- [55] Sertel O., Kong J., Catalyurek U.V., Lozanski G., Saltz J. H., Gurcan M. N., "Histopathological image analysis using model-based intermediate representations and color texture: follicular lymphoma grading", *Journal of Signal Processing Systems*, Vol. 55, No. 1-3, pp. 169-183, 2008.
- [56] Pantic I., Dacic S., Brkic P., Lavnja I., Jovanovic T., Pantic S., "Discriminatory ability of fractal and grey level co-occurrence matrix methods in structural analysis of hippocampus layers", *Journal of Theoretical Biology*, Vol. 370, pp. 151-156, 2015.
- [57] Mao J., Jain A., "Texture classification and segmentation using Multi resolution simultaneous autoregressive models", *Pattern Recognition*, Vol. 25, No. 2, pp. 173–188, 1992.
- [58] Chen Y. Q., Nixon M., Thomas D. W., "Statistical geometrical features for texture classification", *Pattern Recognition*, Vol. 28, No. 4, pp. 537-552, 1995.
- [59] Varma M., Zisserman A., "A statistical approach to texture classification from single images", *International Journal of Computer Vision*, Vol. 62, No. 1, pp. 61-81, 2005.

- [60] Aggarwal N., Agrawal R. K., "First and second order statistics features for classification of magnetic resonance brain images", *Journal of Signal and Information Processing*, Vol. 3, pp. 146-153, 2012.
- [61] Laine A., Fan J., "Texture classification by wavelet packet signature", *IEEE Transactions on Pattern Analysis and Machine Intelligence*, Vol. 15, No. 11, pp. 1186-1191, 1993.
- [62] Arivazhagan S., Ganesan L., "Texture classification using wavelet transform", *Pattern Recognition Letters*, Vol. 24, No. 9-10, pp. 1513-1521, 2003.
- [63] Barley A., Town Ch., "Combinations of feature descriptors for texture image classification", *Journal of Data Analysis and Information Processing*, Vol. 2, pp. 67-76, 2014.
- [64] Gupta L., Shivani G., Das S., "Classification of textures in SAR images using multi-channel multi-resolution filters", *In Proc. of National Conference on Image Processing*, India, pp. 198-201, March 2005.
- [65] Pietikäinen M, Ojala T, Xu Z, "Rotation-invariant texture classification using feature distributions", *Pattern Recognition*, Vol. 33, pp. 43–52, 2000.
- [66] Ojala T., Pietikainen M., Maenpaa T., "Multi resolution gray-scale and rotation invariant texture classification with local binary patterns", *IEEE Transactions on Pattern Analysis and Machine Intelligence*, Vol. 24, No. 7, pp. 971-987, 2002.
- [67] Liu L., Zhao L., Long Y., Kuang G., Fieguth P., "Extended local binary patterns for texture classifications", *Image and Vision Computing*, Vol. 30, pp. 86-99, 2012.
- [68] Fekrireshad Sh., "Texture classification approach based on combination of edge & co-occurrence matrixes and local binary patterns", *In Proc. of International Conference on Image Processing, Computer Vision and Pattern Recognition*, Las-Vegas, USA, pp. 626-629, 2011.
- [69] Reddy B., Rao A., Suresh A., Kumar V., "Texture classification by simple patterns edge direction movements", *International Journal of Computer Science and Network Security*, Vol. 7, No. 11, pp. 221-225, 2007.
- [70] Fekrireshad Sh., "Texture classification approach based on energy variation", *International Journal of Multimedia Technology*, Vol. 2, No. 2, pp. 52-55, 2012.
- [71] Yuan F., Shi J., Yang Y., Fang Y., Wang R., "Sub oriented histograms of local binary patterns for smoke detection and texture classification", *KSII Transactions on Internet and Information Systems*, Vol. 10, No. 4, pp. 1807-1823, 2016.
- [72] Unser M., "Texture classification and segmentation using wavelet frames", *IEEE Transactions on Image Processing*, Vol. 4, No. 11, pp.

- 1549-1560, 1995.
- [73] Haley G, Manjunath B. S., "Rotation invariant texture classification using a complete space-frequency model", *IEEE Transactions on Image Processing*, Vol. 8, No. 2, pp. 255-269, 1999.
- [74] Kaplan L. M., "Extended fractal analysis for texture classification and segmentation", *IEEE Transactions on Image Processing*, Vol. 8, No. 11, pp. 1572-1585, 1999.
- [75] Zhou F., Feng J. F., Shi Q. Y., "Texture features based on local fourier transform", *In Proc. of IEEE International Conference on Image Processing*, Vol. 2, pp. 610-613, October 2001.
- [76] Kim K.I., Park S. H., Kim H. J., "Kernel principal component analysis for texture classification", *IEEE Signal Processing Letters*, Vol. 8, No. 2, pp. 39-41, 2001.
- [77] Pun C. M., Lee M. C., "Log-polar wavelet energy signatures for rotation and scale invariant texture classification", *IEEE Transaction on Pattern Analysis and Machine Intelligence*, Vol. 25, No. 5, pp. 590-603, 2003.
- [78] Liu X., Wang D., "Texture classification using spectral histograms", *IEEE Transactions on Image Processing*, Vol. 12, No. 6, pp. 661-670, 2003.
- [79] Xu Y., Sonka M., McLennan G., Guo J., Hoffman E. A., "MDCT-Based 3D texture classification of emphysema and early smoking related lung pathologies", *IEEE Transactions on Medical Imaging*, Vol. 25, No. 4, pp. 464-475, 2006.
- [80] Kim S. C., Kang T. J., "Texture classification and segmentation using wavelet packet frame and gaussian mixture model", *Pattern Recognition*, Vol. 40, pp. 1207-1221, 2007.
- [81] Liao S., Chung A. S., "Texture classification by using advanced local binary patterns and spatial distribution of dominant patterns", *In Proc. of IEEE International Conference on Acoustics, Speech and Signal Processing*, Vol. 1, pp. 1221-1224, 2007.
- [82] Wang Z., Yong J., "Texture analysis and classification with linear regression model based on wavelet transform", *IEEE Transaction on Image Processing*, Vol. 17, No. 8, pp. 1421-1430, 2008.
- [83] Ojansivu V., Heikkila J., "Blue intensity texture classification using local phase quantization", *In Proc. of 3rd International Conference on Image and Signal Processing*, Cherbourg-Octeville, France, pp. 236-243, July 2008.
- [84] Suruliandi A., Ramar K., "Local texture patterns – a univariate texture model for classification of images", *In Proc. of 16th International Conference on Advanced Computing and Communications*, Chennai, India, pp. 32-39, December 2008.
- [85] Liao S., Law M. W., Chung A. S., "Dominant local binary patterns for texture classification", *IEEE Transactions on Image Processing*, Vol. 18, No. 5, pp. 1107-1118, 2009.

- [86] Li W., Mao K., Zhang ., Chai T., "Selection of gabor filters for improved texture feature extraction", *In Proc. of 17th International IEEE Conference on Image Processing*, Hong Kong, pp. 361-364, September 2010.
- [87] Melendez J., Puig D., Garcia M. A., "Multi-level pixel-based texture classification through efficient prototype selection via normalized cut", *Pattern Recognition*, Vol. 43, No. 12, pp. 4113-4123, 2010.
- [88] Liu L., Fieguth P., Clausi D., Kuang G., "Sorted random projection for robust rotation invariant texture classification", *Pattern Recognition*, Vol. 45, No. 6, pp. 2405-2418, 2012.
- [89] Liu L., Fieguth P., "Texture classification from random features", *IEEE Transaction of Pattern Analysis and Machine Intelligence*, Vol. 43, No. 3, pp. 574-586, 2012.
- [90] Kylberg G., Sintorn L. M., "Evaluation of noise robustness for local binary patterns descriptors in texture classification", *EURASIP Journal on Image and Video Processing*, Vol. 13, pp. 1-20, 2013.
- [91] Susan S., Hanmandlu M., "A non-extensive entropy feature and its application to texture classification", *Neurocomputing*, Vol. 120, pp. 214-225, 2013.
- [92] Nguyen V. D., Nguyen D. D., Nguyen T. T., Dinh V. Q., Jeon J. W., "Support local pattern and its application to disparity improvement and texture classification", *IEEE Transaction on Circuits and Systems for Video Technology*, Vol. 24, No. 2, pp. 263-276, 2014.
- [93] Qi X., Zhao G., Shen L., Li Q., Pietikainen M., "Local orientation adaptive descriptor for texture and material classification", *Neurocomputing*, Vol. 184, pp.28-35, 2016.
- [94] Hafiane A., Palaniappan K., Seetharaman G., "Joint adaptive median binary patterns for texture classification", *Pattern Recognition*, Vol. 48, pp. 2609-2620, 2015.
- [95] Dong Y., Tao D., Li X., "Nonnegative multi-resolution representation-based texture image classification", *ACM Transactions on Intelligence Systems Technology*, Vol. 7, No. 1, Article 4, pp. 1-21, 2015.
- [96] Al-Sahaf H., Zhang M., Johnston M., Verma B., "Image descriptor: a genetic programming approach to multiclass texture classification", *In Proc. of IEEE Congress on Evolutionary Computing*, Sendai, Japan, pp. 2460-2467, May 2015.
- [97] Liu L., Lao S., Fieguth P. W., Guo Y., Wang X., Pietikainen M., "Median robust extended local binary patterns for texture classification", *IEEE Transactions On Image Processing*, Vol. 25, No. 3, pp. 1368-1381, 2016.
- [98] Mehta R., Eguiazarian K. E., "Texture classification using dense micro-block differences", *IEEE Transactions on Image Processing*, Vol. 25, No. 4, pp. 1604-1616, 2016.
- [99] Ji Z., Nie L., "Texture image classification with noise-tolerant local binary patterns", *Computer Research and Development*, Vol. 53, No. 5, pp. 1128-1134, 2016.

- [100] Haralick R. M., Shanmugan K., Dinstein I., "Textural features for image classification", *IEEE Transaction on Systems, Man and Cybernetics*, Vol. SMC-3, No. 6, pp. 610-621, 1973.
- [101] Akhloufi M. A., Maldaque X., Larbi W. B., "A new color-texture approach for industrial products inspection", *Journal of Multimedia*, Vol. 3, No. 3, pp.44-50, 2008.
- [102] Porebski A., Vandenbroucke N., Macaire L., "Haralick feature extraction from LBP images for color texture classification", *In Proc. of First IEEE Workshop on Image Processing, Theory, Tools and Applications*, Sousse, Tunisia, pp. 1-8, November 2008.
- [103] Ning J., Zhang L., Zhang D., Wu C., "Robust object tracking using joint color-texture histogram", *International Journal of Pattern Recognition and Artificial Intelligence*, Vol. 23, No. 7, pp. 1245-1263, 2009.
- [104] Sengur A., "Color texture classification using wavelet transform and neural networks ensembles", *Arabian Journal for Science and Engineering*, Vol. 34, No. 2b, pp. 491-502, 2009.
- [105] Pietikainen M., Maenpaa T., Viertola J. "Color texture classification with color histograms and local binary patterns", *In Proc. of 2nd International Workshop on Texture Analysis and Synthesis*, Copenhagen, Denmark, pp. 109-112, June 2002
- [106] Ohta Y., Kanade T., Sakai T., "Color information for region segmentation", *Computer Graphics and Image Processing*, Vol.13, pp. 222-240, 1980.
- [107] Ojala T., Pietikaeinen M., Maeenpaeae T. "Texture classification by multi predicate local binary pattern operators", *In Proc. of 15th International Conference on Pattern Recognition*, Barcelona, Spain, Vol. 3, pp. 951-954, January 2000.
- [108] Tajeripour, F., Kabir, E., and Sheikhi, A., "Fabric defect detection using modified local binary patterns", *EURASIP Journal on Advances in Signal Processing*, Vol. 08, pp. 1-12, 2008.
- [109] Ojala, T., Maenppa, T., Pietikainen, M., Viertola, J., Kyllonen, J., Huovinen, S. "Outex-new framework for empirical evaluation of texture analysis algorithms", *In Proc. of 16th International Conference on Pattern Recognition*, Quebec, Canada, pp. 701–706, August 2002, Downloadable at <http://www.outex.oulu.fi/>
- [110] Picard R., Graczyk C., Mann S., Wachman J., Picard L., Campbell L. "Vision texture database", Media Laboratory, Massachusetts Institute of Technology (MIT), 2009
Downloadable at <http://vismod.media.mit.edu/pub/VisTex/VisTex.tar.gz>.
- [111] Caputo B., Hayman E., Mallikarjuna P., "Class-specific material categorization", *In Proc. of 10th International Conference on Computer Vision*, Beijing, China, pp. 1597-1604, October 2005.
Downloadable at: <http://www.nada.kth.se/cvap/databases/kth-tips/>

- [112] Sharma G., Hussain S., Jurie F., "Local higher order statistics for texture categorization and facial analysis", *In Proc. of the 12th European conference on Computer Vision*, Florence, Italy, Vol. 7, pp. 1-12, October 2012.
- [113] Tan X., Triggs B., "Enhanced local texture feature set for face recognition under Different Lighting Conditions", *IEEE Transaction on Image Processing*, Vol. 19, No. 6, pp. 1635-1650, 2010
- [114] Zhenhua G., Lei Z., Zhang D., "A completed modeling of local binary patterns operator for texture classification", *IEEE Transaction on Image Processing*, Vol. 19, No. 6, pp. 1657-1663, 2010.
- [115] Hafiane A., Seetharaman G., Zavidovique B., "Median binary pattern for textures classification", *In Proc. of the 4th International Conference on Image Analysis and Recognition*, Montreal, Canada , pp. 387–398, August 2007.
- [116] Proctor C., He Y., Robinson V., "Texture augmented detection of macrophyte species using decision trees", *ISPRS journal of photogrammetry and remote sensing*, Vol. 80, pp. 10-20, 2013
- [117] Porebski A., Vandenbroucke N., Macaire L., "Supervised texture classification: color space or texture feature selection", *Pattern Analysis and Applications*, Vol. 16, No. 1, pp. 1-18, 2013.
- [118] Porebski, A., Vandenbroucke, N., Macaire, L., "A Multi color space approach for texture classification: experiments with outex, vistex, and barktex image databases", *In Proc. of 5th European Conference on Color in Graphics, Imaging and Vision*, Joensuu, Finland, pp. 314-319, June 2010
- [119] Arvis V., Debain C., Berducat M., Benassi A., "Generalization of the co-occurrence matrix for colour images: application to colour texture classification", *Image Analysis and Stereology*, Vol. 23, No. 1, pp. 63-72, 2004.
- [120] Xu Q., Yang J., Ding S., "Color texture analysis using the wavelet based hidden markov model", *Pattern Recognition Letters*, Vol. 26, pp. 1710-1719, 2005.
- [121] Iakovidis D., Maroulis D., Karkanis S., "A comparative study of color texture image features", *In Proc. of 12th International Workshop on Systems ,Signals and Image Processing*, Chalkida, Greece , pp.203-207, September 2005.
- [122] Banerji S., Verma A., Liu C. "Novel Color LBP descriptors for scene and image texture classification", *In Proc. of 15th International Conference on Image Processing, Computer Vision and Pattern Recognition*, Las Vegas, Nevada, pp.537-543, July 2011.
- [123] Ren J., Jiang X., Yuan J., "Noise-resistant local binary patterns with an embedded error-correction mechanism", *IEEE Transaction on Image Processing*, Vol. 22, No. 10, pp. 4049-4060, 2013.

- [124] Fehr T., Code C., Herrmann M., "Common brain regions underlying different arithmetic operations as revealed by conjunct fMRI-BOLD activation", *Brain Research*, Vol. 1172, pp. 93-102. 2007.
- [125] Jin H., Liu Q., Lu H., Tong X., "Face detection using improved LBP under Bayesian framework", *In Proc. of the 3rd International Conference on Image and Graphics*, Hong Kong, pp. 306–309, 2004.
- [126] Ngan H. Y., Pang G. K., Yung S. P., Ngan M. K., "Wavelet based methods on patterned fabric defect detection", *Pattern Recognition*, Vol. 38, No. 4, pp. 559–576, 2005.
- [127] Ngan H., Pang G. K., "Novel method for patterned fabric inspection using Bollinger bands", *Optical Engineering*, Vol. 45, No. 8, pp. 1-15, 2006.
- [128] Fekriershad, Sh., Fakhrahmad M., and Tajeripour, F., "Impulse noise reduction for texture images using real word spelling correction algorithm and local binary patterns", *International Arab Journal of Information Technology*, Vol. 15, No. 6, November 2018.
- [129] Fekriershad, Sh., "Color texture classification approach based on combination of primitive pattern units and statistical features", *International Journal of Multimedia and Its Applications*, Vol. 3, No. 3, pp. 1-13, 2011.
- [130] Häfner, M., Liedlgruber, M., Uhl, A., Vécsei, A., Wrba, F., "Color treatment in endoscopic image classification using multi-scale local color vector patterns", *Medical Image Analysis*, Vol. 16, pp. 75-86, 2012.
- [131] Xu, Y., Huang, S., Ji H., Fermuller C., "Scale-space texture description on SIFT-like textons", *Computer Vision and Image Understanding*, Vol. 116, pp. 999-1013, 2012.
- [132] Sahu, O., Anand V., Kanhangad V., Pachori R. B., "Classification of magnetic resonance brain images using bi-dimensional empirical mode decomposition and autoregressive model", *Biomedical Engineering Letters*, Vol. 5, pp. 311-320, 2015.
- [133] Shrivastava N., Tyagi V., "Noise-invariant structure pattern for image texture classification and retrieval", *Multimedia Tools and Applications*, Vol. 75, pp. 10887-10906, 2016.
- [134] Masoudi B., "Classification of color texture images based on modified WLD", *International Journal of Multimedia Information Retrieval*, Vol. 5, pp. 117-124, 2016.
- [135] Niang, O., Thioune, A., El-Gueirea M. C., Delechelle, E., Lemoine, J., "Partial differential equation-based approach for empirical mode decomposition: application on image analysis", *IEEE Transaction on Image Processing*, Vol. 21, No. 9, pp. 1057-, 2012.
- [136] Lowe, D. G., "Object recognition from local scale-invariant features", *In Proc. of Seventh International Conference on Computer Vision*, Washington DC, USA, 20-27 September, pp. 1150-1156, 1999
- [137] Lowe, D., "Distinctive image features from scale-invariant key points", *International Journal of Computer Vision*, Vol. 60, No. 2, pp.91-110, 2004

- [138] Ke, Y., Sukthankar, R., "PCA-SIFT: a more distinctive representation for local image descriptors". *In Proc. of IEEE Computer Society Conference on Computer Vision and Pattern Recognition*, Vol. 2, pp. 506-513, 2004
- [139] Mikolajczyk, K., Schmid, C., "A performance evaluation of local descriptors", *IEEE Transactions on Pattern Analysis and Machine Intelligence*, Vol. 27, No. 10, pp. 1615–1630, 2005
- [140] Abdel-Hakim, A., Farag, A., "CSIFT: a SIFT descriptor with color invariant characteristics", *In Proc. of IEEE Computer Society Conference on Computer Vision and Pattern Recognition*, 17-22 June, Washington DC, USA, pp. 1978-1983, 2006.
- [141] Ancuti, C., Bekaert, P., "SIFT-CCH: increasing the SIFT distinctness by color co-occurrence histograms", *In Proc. of 5th Internatinal Symposium on Image and Signal Processing and Analysis*, Istanbul, Turkey, pp. 130-135, 2007.
- [142] Huang, N.E., Shen Z., Long, S. R., Wu, M. C., Shih, H. H., Zheng, Q., Yen, N. C., Tung, C.C., Liu, H. H., "The empirical mode decomposition and the hilbert spectrum for nonlinear and non-stationary time series analysis", *In Proc. of Conference R Soc Lond*, Vol. 454, No. 4, pp. 903-95, 1998.
- [143] Nunes, J. C., Bouaoune, Y., Delechelle, E., Niang, O., Bunel, P.h., "Image analysis by bidimensional empirical mode decomposition", *Image and Vision Computing*, Vol. 21, No. 12, pp. 1019-26, 2003
- [144] Qiao, L. H., Guo, W., Yuan, W. T., Peng, L., "Texture analysis based on bidimensional empirical mode decomposition and quaternions", *In Proc. of International Conference on Wavelet Analysis and Pattern Recognition*, 12-15 July, pp. 84-90, 2009
- [145] Brodatz P., "a photographic album for artists and designers, by phil brodatz", Dover Publications, 1966